

МІНІСТЕРСТВО ОСВІТИ І НАУКИ УКРАЇНИ

Київський національний університет
будівництва і архітектури

КІЛЬЦЕВА ПЛАСТИНА

Методичні рекомендації
до виконання розрахунково-графічної роботи
для студентів спеціальності
7.092101 "Промислове і цивільне будівництво"

Київ 2003

МІНІСТЕРСТВО ОСВІТИ І НАУКИ УКРАЇНИ
КИЇВСЬКИЙ НАЦІОНАЛЬНИЙ УНІВЕРСИТЕТ
БУДІВНИЦТВА І АРХІТЕКТУРИ

Пеклов М.Ю.

КІЛЬЦЕВА ПЛАСТИНА

Методичні рекомендації
до виконання розрахунково-графічної
роботи для студентів спеціальності
7.092101 "Промислове
і цивільне будівництво"

КИЇВ 2003

Укладач М.О. Пеклов, старш. викладач

Рецензент Л.Т. Шкельов, канд. техн. наук, професор

Відповідальний за випуск Л.Т.Шкельов, завідувач кафедри

Затверджено на засіданні кафедри опору матеріалів, протокол № 8 від 25 червня 2003 р.

Видається в авторській редакції.

Кільцева пластина: Методичні рекомендації до виконання К39 розрахунково-графічної роботи "Кільцева пластина"/Уклад. М.О. Пеклов. – К.: КНУБА, 2003. – 64 с.

Містять елементи теорії тонких кільцевих пластин та методику виконання завдань з розрахунку кільцевих пластин на міцність і жорсткість. Дано розгорнуте обґрунтування аналітичного розв'язку задачі поперечного згину кільцевих пластин при дії віссесиметричного навантаження. Ретельно розглянуто питання виконання граничних умов та обмежень розв'язку, що використовується.

Призначено для студентів спеціальності 7.092101 "Промислове і цивільне будівництво" (третій рік навчання).

ЗМІСТ

Загальні положення	4
1. Визначення, позначення і гіпотези.....	6
2.Переміщення і деформації.....	10
3. Напруги і зусилля.....	13
4. Диференціальнє рівняння рівноваги кільцевої пластини і його інтеграл.....	20
5. Границі умови на контурі пластини.....	23
6. Обчислення нормальних і дотичних напружень у розрахунках міцність кільцевих пластин.....	25
7. Методичні вказівки до виконання розрахунково-графічної вправи на тему «Розрахунок кільцевої пластини на міцність і жорсткість.....	27
8. Пластина, внутрішня кромка якої жорстко закріплена, зовнішня - вільна і навантажена розподіленим навантаженням.....	28
9. Пластина, зовнішня кромка якої прикріплена шарнірно, внутрішня - жорстко закріплена в центральному абсолютно твердому диску і переміщується разом з ним.....	36
10. Пластина, внутрішня кромка якої шарнірно оперта, зовнішня жорстко закріплена і навантажена по всій площині рівномірно розподіленим поперечним навантаженням.....	44
11. Визначення даних індивідуальних задач розрахунково-графічної вправи «Розрахунок кільцевої пластини на міцність і жорсткість».....	54
12. Табулювання функцій, заданих громіздкими формулами, на мікрокалькуляторах типу "Casio" fx-100W, fx-570W.....	59
Список літератури.....	62

3

Загальні положення

Теорія і методи розрахунку тонких пластин вивчаються студентами спеціальності 1202 «Промислове і цивільне будівництво» (ІІІ рік навчання) у курсі «Опір матеріалів з основами теорії пружності і пластичності». Програмою передбачено також виконання розрахунково-графічної вправи на тему «Кільцева пластина». При його виконанні, як правило, виникають труднощі викликані тим, що, відповідно до навчального плану, вправа виконується наприкінці семестру одночасно з вивченням теоретичної частини курсу, присвяченої загальній теорії пластин. Разом з тим у сучасних навчальних посібниках при викладі теми «Кільцева пластина» в значній мірі використовуються знання із загальної теорії пластин. Зрозуміло, що таке порушення послідовності викладу не сприяє ані поглибленню вивчення теми, ані якісному виконанню вправи . Щоб уникнути цього, у методичні вказівки включено основи теорії поперечного згину кільцевих пластин. Викладаються основні визначення, позначення і гіпотези лінійної теорії пластин. Виконано вивід диференційного рівняння задачі, і його рішення. Сформульовано граничні умови для основних випадків закріплення кільцевих пластин. Виведено формули для визначення переміщення і зусилля у пластині. Потім наведено методичні вказівки з виконання розрахунково-графічної вправи і приклади розрахунку кільцевої пластини на міцність і жорсткість. Приклади виконані докладно з усіма необхідними перетвореннями і проміжними обчисленнями. Розрахунок кільцевої пластини вимагає рішення систем лінійних алгебраїчних рівнянь і обчислень, пов'язаних з табулюванням функцій, заданих громіздкими формулами. Тому корисно використовувати сучасні інженерні мікрокалькулятори для виконання формульних обчислень. Методичні рекомендації містять короткий опис мікрокалькулятора

"Casio" fx-570W, є приклад з його використання при обчисленні громіздких виразів, а також вихідні дані для індивідуальних задач і список літератури, де крім підручників є і довідники. Це може бути корисним для більш глибокого вивчення теми. Усе це робить методичні вказівки автономним посібником, придатним для використання і при заочній формі навчання.

Тонкі кільцеві пластини як конструктивний елемент використовуються в будівництві, машинобудуванні й інших галузях техніки. Розрахунок на міцність і жорсткість кільцевої пластини вимагає знання напружень (шість невідомих функцій), деформацій (шість невідомих функцій) і переміщень (три невідомі функції) у кожній точці тіла. Щоб визначити п'ятнадцять невідомих функцій, що задовольняють заданим граничним умовам, необхідно вирішити просторову задачу теорії пружності. Тіло має форму кільцевої пластини, що істотно спрощує задачу. Для деяких випадків зовнішнього навантаження замість рішення системи з п'ятнадцять функціональних рівнянь залишається одне диференційне рівняння, для якого можна одержати аналітичне рішення.

1. Визначення, позначення і гіпотези

Кільцевою пластинкою називають тіло, що має форму порожнього колового циліндра, висота якого значно менше розміру його основи. Внутрішню і зовнішню поверхні циліндра називають кромками або бічною поверхнею кільцевої пластини, а верхній і нижній торці циліндра – відповідно верхньою і нижньою поверхнями пластини. Геометричні місце точок, що знаходяться на однаковій відстані від верхньої і нижньої поверхні пластини, утворює серединну площину пластини. Ліній перетину серединної площини з бічною поверхнею утворюють контур пластини. Відстань між верхньою і нижньою поверхнями називають товщиною пластини.

Геометрію пластини зручно задавати в циліндричній системі координат, з'єднуючи її початок з центром ваги пластини. Вісь з спрямовано вниз, вісь x спрямована уздовж радіуса. Полярний кут θ відраховується проти годинникової стрілки в площині пластини. Положення будь-якої точки e визначається трьома координатами абсцизою $os=r$, дуговою координатою $cd=\theta$, алікатою $de=z$. Геометрія кільцевої пластини визначається розмірами внутрішнього радіуса a , зовнішнього радіуса b і товщини h . Вимірювання вздовж радіуса a відстань між кромками пластини $l=b-a$ (рис. 1) називається прольотом пластини.

В'язі, за допомогою яких пластина спирається на інші конструкції, розміщено по всій довжині кромки. Таким чином, кільцева пластина разом із кріпленнями є конструкцією з осьовою симетрією. Вважається, що навантаження прикладене нормально до серединної площини пластини.

Далі розглядається випадок коли і навантаження теж має осьову симетрію. Тоді в кільцевій пластині виникають переміщення, деформації і напруження, які також мають осьову симетрію.

6

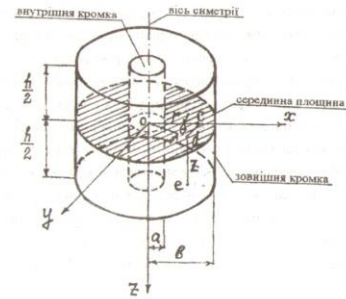


Рис. 1. Геометрія кільцевої пластини

Напружено деформований стан пластини істотно залежить від співвідношення її розмірів. За величиною співвідношення товщини пластини до характерного лінійного розміру в плані $b-a$ розрізняють пластини:

товсті	тонкі	мембрани
$\frac{h}{b-a} > \frac{1}{10}$	$\frac{1}{10} > \frac{h}{b-a} > \frac{1}{80}$	$\frac{1}{80} > \frac{h}{b-a}$

У першому випадку пластина є об'ємним тілом в якому всі напруження і деформації мають приблизно одинакову величину. Для їхнього визначення необхідно вирішити просторову задачу теорії пружності.

7

У мембранах можливі тільки розтяжні нормальні напруження, що розподіляються практично рівномірно по товщині пластини. Вони можуть бути визначені з умови рівноваги.

У техніці й у будівництві широко використовують тонкі пластини невеликого прогину, напруження в яких не виходять за межі пружності матеріалу, з якого пластина виготовлена. При поперечному вигині тонкої пластини її напружений стан вкрай неоднорідний. Виявляється, що величини нормальних напружень і кутових деформацій у діяльних перетинах пластини можуть відрізнятися від їхніх найбільших значень у сто і більш разів. Цю обставину можна використати і спростити рішення задачі. Відповідні спрощення вводять за допомогою гіпотез теорії тонких пластин.

У випадку поперечного вигину тонкої пластини її напружений стан виявляється досить схожим на напруженій стан, що виникає у вузькій балці – смусі такого ж прольоту, навантаженою таким же навантаженням. Відомо, що якщо навантаження розподілене рівномірно по довжині прольоту балки, то величина нормальні напруження σ_z складає більшого відсотка від величини найбільшого нормальног напруження

$$\sigma_z = \frac{4}{3} \left(\frac{h}{l} \right)^2 \sigma_s = 0.0133 \sigma_s.$$

Такою величиною в технічній теорії згину тонких пластин нехтують. Приймають, що нормальні напруження між шарами пластини $\sigma_z = 0$ відсутні. Це спрощення відоме як гіпотеза про відсутність натиснення шарів пластини один на інший. Вона означає, що будь-який шар пластини, рівнобіжний її серединній площині, знаходитьться в плоскому напруженому стані. Це істотно спрощує рішення задачі.

8

При поперечному вигині кільцевої пластини її серединна площа трансформується в серединну поверхню і всі точки по-перечному переріза одержують переміщення. Вертикальна складова повного переміщення довільної точки e , що не належить серединній площині пластини, називається прогином $w(r) = pr_e e_e$ (рис. 2).

Важливим є відношення величини найбільшого прогину w_{\max} до товщини пластини h , що характеризує жорсткість пластини. За величиною цього відношення розрізняють

Гнучкі тонкі пластини невеликого прогину (тверді пластини)	Гнучкі тонкі пластини великого вигину
$w_{\max} < \frac{1}{5}$	$2 > \frac{w_{\max}}{h} > \frac{1}{5}$

У першому випадку пластини несуть таке невелике поперечне навантаження, що прогин їх малі в порівнянні з товщиною. В другому випадку пластина прогинається настільки, що впливом їхніх прогинів на величину зусиль, що спричиняють деформацію серединного шару не можна знехтувати.

У промисловому і цивільному будівництві застосовується, як правило, тверді пластини. У цьому випадку наближене значення відносної лінійної деформації нейтрального волокна балки – сумує збігається з відношенням w_{\max}/l і не перевищує двох відсотків.

$$\varepsilon = \frac{w_{\max}}{l} < 0,02$$

Такою величиною у технічній теорії згину тонких пластин нехтують. Приймають, що відносна лінійна деформація серединного шару дірівнює нулю $\varepsilon_0 = 0$. Це спрощення відоме як гіпотеза

9

про відсутність деформацій розтягу серединної поверхні вигнутої пластини. Воно теж спрощує рішення задачі.

Нарешті, третє спрощення, відоме як гіпотеза прямих недеформованих нормалей Кірхгофа – Лява, ґрунтуючись на факті маслі кутових деформацій в околі довільної точки серединної поверхні пластини. Передбачається, що будь-який прямолінійний відрізок, виділений у тілі пластини нормально до її серединної площини до навантаження, залишається після деформації прямою лінією і нормальним до серединної поверхні, у яку перетворюється серединна площа пластини. Гіпотезу прямих нормалей можна трактувати як вимогу незмінності прямих кутів між прямолінійними відрізками і дотичною площею. А це означає, що відсутні зсуви в околі довільної точки серединної площини.

Далі розглядається випадок, коли навантаження, яке згинає тонку кільцеву пластину, має осьову симетрію й однакові переміщення всіх точок контуру.

2. Переміщення і деформації

Задача поперечного вигину кільцевих пластин вирішується в переміщеннях. При вигині пластини положення довільної точки серединної площини визначається вектором повного переміщення \mathbf{e}_c . Невідомими є три складові цього вектора. Позначимо їх

$u(r, z, \theta) = ?$ складова вздовж радіуса;

$v(r, z, \theta) = ?$ складова, ортогональна до діаметральної площини пластини;

$w(r, z, \theta) = ?$ складова, вздовж осі симетрії.

Осьова симетрія деформацій кільцевої пластини накладає обмеження на переміщення довільної точки, що може переміщуватися тільки в діаметральній площині. Тому складова повного

10

переміщення яка виходить з діаметральної площини пластини відсутня

$$v(r, z, \theta) = 0. \quad (2.1)$$

Дві інші складові повного переміщення не залежать від полярного кута

$$u(r, z, \theta) = u(r, z),$$

$$w(r, z, \theta) = w(r, z).$$

При осьовій симетрії деформації всі точки кола радіуса r мають одинаковий прогин $w(r)$. Тому відсутня кутова деформація в площині uz

$$\gamma_{\theta z} = 0.$$

Відсутні також кутова деформація у площині, дотичній до серединної поверхні пластини,

$$\gamma_{\theta r} = 0.$$

Гіпотезу прямих нормалей можна розглядати як вимогу про відсутність зсуву в діаметральній площині в околі довільної

$$\gamma_{rz} = \frac{\partial w}{\partial r} + \frac{\partial u}{\partial z} = 0.$$

точки серединної поверхні пластини, тобто при $z=0$

Рівняння містить дві невідомі функції. Продінтегруємо це рівняння і вірішими його відносно невідомої функції $u(r, z)$

$$u(r, z) = -j \frac{\partial w}{\partial r} dz + f_1(r),$$

де $f_1(r)$ - довільна функція.

У точці на осі симетрії, при $r=0$, горизонтальне переміщення відсутнє $u(0, 0) = 0$. Відповідно до гіпотези про відсутність розтягу серединної поверхні пластини дорівнює нулю також і лінійна відносна деформація $\epsilon_r = \partial u / \partial r = 0$, разом з нею і сама функція $u(r, 0)$. Тому і довільна функція теж дорівнює нулю $f_1(r) = 0$. Отже

11

$$u(r, z) = -z \frac{dw}{dr} \quad (2.2)$$

Знак мінус вказує, що при додатному значенні кута повороту перерізу (поворот за годинниковою стрілкою) горизонтальне переміщення у довільній точці з алігатою $z > 0$

відбувається у від'ємному напрямку (рис. 2).

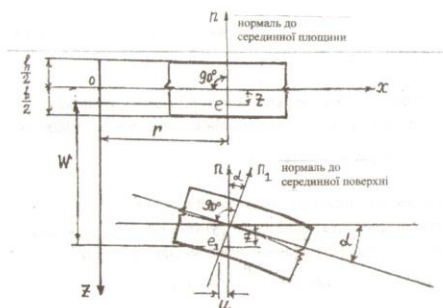


Рис. 2. Переміщення пластини при згинанні

Таким чином, із трьох невідомих функцій, що визначають повне переміщення довільної точки, залишилася лише одна невідома функція прогину пластини $w(r, z)$. Функція $v(r, z) = 0$, а функція $u(r, 0)$, що визначає горизонтальне переміщення, виражається через невідому функцію прогинів $w(r, z)$. Далі завдання полягає в

12

тому щоб і всі інші невідомі функції, що визначають напружено деформований стан кільцевої пластини, виразити через цю невідому функцію. Задача поперечного вигину кільцевих пластин вирішується в переміщеннях.

З'язок між деформаціями і переміщеннями визначається рівняннями Коші. У полярній системі координат для довільного шару пластини, паралельного серединній площині, ці рівняння мають вигляд

$$\epsilon_r = \frac{\partial u}{\partial r}, \quad \epsilon_\theta = \frac{u}{r} + \frac{1}{r} \frac{\partial v}{\partial \theta}, \quad \gamma = \frac{\partial v}{\partial r} + \frac{1}{r} \frac{\partial u}{\partial \theta} - \frac{v}{r}. \quad (2.3)$$

З урахуванням основової симетрії, невідома функція $u(r, z)$ не залежить від полярного кута θ , а невідома функція $v(r, z)$ та її похідні потрібно дорівнюють нулю. Після підстановки виразів (2.1) і (2.2) у (2.3) усі функції, що визначають деформацію шару плас-

$$\epsilon_r = -z \frac{d^2 w}{dr^2}, \quad \epsilon_\theta = -\frac{z}{r} \frac{dw}{dr}, \quad \gamma_{r\theta} = 0. \quad (2.4)$$

тина, будуть виражені через одну невідому функцію прогину

Таким чином, із шести компонентів тензора деформацій залишається невизначененою кутова деформація γ_{rz} .

3. Напруження й зусилля

Рішення просторової задачі теорії пружності вимагає визначення шести компонентів тензора напруженень. На відстані z від рівня серединної площини пластини за допомогою двох перетинів, паралельних серединній площині, виділимо шар товщиною dz . Кожен шар пластини знаходиться в умовах плоского напруженого стану. Проведемо два радіальні перетини. Один радіусом r , інший радіусом $r + dr$. Проведемо два діаметральні перетини.

13

Один під кутом θ , інший під кутом $\theta + d\theta$. На гранях виділено частини шару пластини будуть діяти нормальні і дотичні напруження (рис. 3).

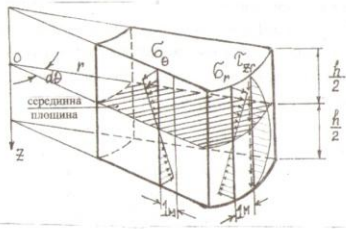


Рис. 3. Нормальний і дотичні напруження на перерізах пластини

Розглянемо пружний стан матеріалу пластини. Зв'язок між деформаціями і напруженнями визначається рівнянням закону Гука. Запишемо їх у формі, вирішеної щодо напружень. У полярній системі координат для випадку плоского напруженого стану рівняння мають вигляд

$$\sigma_r = -\frac{Ez}{1-\mu^2}(\epsilon_r + \mu \cdot \epsilon_\theta), \quad \sigma_\theta = -\frac{Ez}{1-\mu^2}(\epsilon_\theta + \mu \cdot \epsilon_r), \quad \tau_{r\theta} = \frac{E}{2(1+\mu)}\gamma_{r\theta}. \quad (3.1)$$

Функції відносних деформацій (2.4) уже визначені через невідому функцію прогинів. Після їхньої підстановки в (3.1) функції напруг також будуть виражені через функцію прогинів

$$\sigma_r = -\frac{Ez}{1-\mu^2} \left(\frac{d^2 w}{dr^2} + \frac{\mu}{r} \frac{dw}{dr} \right), \quad \sigma_\theta = -\frac{Ez}{1-\mu^2} \left(\frac{1}{r} \frac{dw}{dr} + \mu \frac{dw}{dr} \right), \quad \tau_{r\theta} = 0. \quad (3.2)$$

Вираз для нормальних напружень показує, що по товщині пластини напруження змінюються за лінійним законом і дорів-

нюють нуль на рівні серединної поверхні. На рівні шару, у його площині, дотичні напруження відсутні (рис. 4).

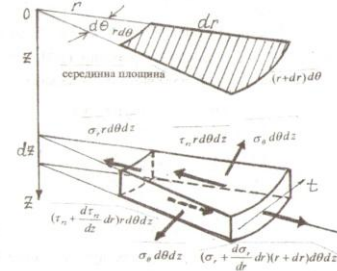


Рис. 4. Елемент довільного шару пластини з діючими напруженнями

Згадаємо, що відповідно до прийнятої гіпотези про відсутність натиснення шарів один на один, нормальні напруження $\sigma_z = 0$. Оскільки кутова деформація дорівнює нулю $\gamma_{rz} = 0$, то відсутнє і відповідне дотичне напруження $\tau_{rz} = 0$.

Для визначення дотичного напруження $\tau_{r\theta}$ скористаємося умовою рівноваги виділеного із шару пластини елемента (рис. 4). Умова рівноваги всіх сил на вісь r

$$\sum F_r = 0: \left(\sigma_r + \frac{d\sigma_r}{dr} dr \right) (r + dr) dr d\theta - \sigma_r r d\theta dz + \left(\tau_{rz} + \frac{dt}{dz} dz \right) rd\theta dr dz - (r_{rz} + \frac{d\tau_{rz}}{dz} dr) r d\theta dz - (\sigma_\theta + \frac{d\sigma_\theta}{dr} dr) (r + dr) d\theta dz = 0.$$

Після спрощень і з урахуванням малості кута $\sin(d\theta/2) \approx d\theta/2$ рівняння буде

$$\frac{d\tau_{rz}}{dz} + \frac{d\sigma_r}{dr} + \frac{\sigma_r - \sigma_\theta}{r} = 0 \quad (3.3)$$

Функції $\sigma_r(r, z)$ і $\sigma_\theta(r, z)$ були визначені раніше. Це дозволяє знайти вирази і, після підстановки їх у рівняння (3.3), отримати рівняння для визначення функції дотичного напруження τ_{rz}

$$\begin{aligned} \frac{d\sigma_r}{dr} &= -\frac{Ez}{1-\mu^2} \left(\frac{d^2 w}{dr^2} - \frac{\mu}{r^2} \frac{dw}{dr} + \frac{\mu}{r} \frac{d^2 w}{dr^2} \right), \\ \frac{\sigma_r - \sigma_\theta}{r} &= -\frac{Ez}{1-\mu^2} \left(\frac{1}{r} \frac{dw}{dr} + \mu \frac{d^2 w}{dr^2} - \frac{d^2 w}{dr^2} - \frac{\mu}{r} \frac{dw}{dr} \right), \\ \frac{d\tau_{rz}}{dr} &= \frac{Ez}{1-\mu^2} \left(\frac{d^2 w}{dr^2} - \frac{1}{r^2} \frac{dw}{dr} + \frac{\mu}{r} \frac{d^2 w}{dr^2} \right). \end{aligned}$$

Диференціальний оператор в круглих дужках, може бути представлений в еквівалентному, коротшому записі

$$\left(\frac{d^2 w}{dr^2} - \frac{1}{r^2} \frac{dw}{dr} + \frac{\mu}{r} \frac{d^2 w}{dr^2} \right) = \frac{d}{dr} \left(\frac{d^2 w}{dr^2} + \frac{1}{r} \frac{dw}{dr} \right) = \frac{d}{dr} \left(\frac{1}{r} \frac{dw}{dr} \right).$$

Отже рівняння для визначення функції дотичного напруження τ_{rz} буде

$$\frac{d\tau_{rz}}{dz} = \frac{Ez}{1-\mu^2} \frac{d}{dr} \left(\frac{1}{r} \frac{dw}{dr} \right).$$

Його інтеграл, визначений методом безпосереднього інтегрування

$$\tau_{rz} = \frac{Ez}{1-\mu^2} \frac{d}{dr} \left(\frac{1}{r} \frac{dw}{dr} \right) \frac{z^2}{2} + f(r), \quad (3.4)$$

де $f(r)$ – довільна функція, що визначається граничними умовами.

За умовою задачі на пластину діє тільки поперечне навантаження. Тому відсутнє дотичне навантаження на верхній і нижній

площині пластини. Тоді за законом парності дотичних напружень $\tau_{rz} = \tau_{rz}$ повинні бути відсутні дотичні напруження в точках $z = +h/2$ і $z = -h/2$

$$\tau_{rz}(h/2) = \frac{Ez}{1-\mu^2} \frac{d}{dr} \left(\frac{1}{r} \frac{dw}{dr} \right) \frac{1}{2} \left(\frac{h}{2} \right)^2 + f(r) = 0.$$

Після знаходження функції $f(r)$ і підстановки її в (3.4) буде визначено останнє невідому функцію деформацій

$$\tau_{rz}(r) = \frac{Ez}{1-\mu^2} \frac{d}{dr} \left(\frac{1}{r} \frac{dw}{dr} \right) S(z), \quad (3.5)$$

де $S(z) = \frac{1}{2} \left(\left(\frac{h}{2} \right)^2 - z^2 \right)$ є статичний момент площини смуги одиничної довжини, що знаходитьться нижче аплікати z . Розмірність статичного моменту в системі СІ – м^3 .

Інтегральні характеристики нормальних і дотичних напружень, які діють по кромкам пластини називаються згинальними моментами і поперечними силами (рис. 5).

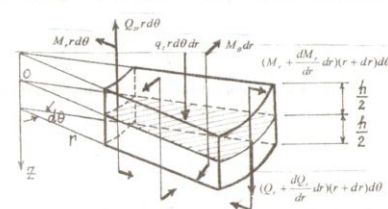


Рис. 5. Елемент пластиини з діючими зусиллями

По довжині кромки виділяється смуга однічної довжини. Тому зусилля називаються питомими зусиллями, тобто віднесеними до однічної довжини кромки. Питомий згинальний момент, що діє в циліндричному перерізі, називається *радіальним*. Він позначається M_r . Його величина визначається інтегралом

$$M_r = \int_{-h/2}^{h/2} z \sigma_r(z) dA = -\int_{-h/2}^{h/2} z \frac{Ez}{1-\mu^2} \left(\frac{d^2 w}{dr^2} + \frac{\mu}{r} \frac{dw}{dr} \right) dz = \\ = -\frac{E}{1-\mu^2} \left(\frac{d^2 w}{dr^2} + \frac{\mu}{r} \frac{dw}{dr} \right) \int_{-h/2}^{h/2} z^2 dz.$$

Визначений інтеграл, який треба обчислити, збігається з величиною моменту інерції прямокутника, ширину якого дорівнює одиниці довжини а висота дорівнює висоті пластини

$$\int_{-h/2}^{h/2} z^2 dz = \frac{1 \cdot h^3}{12}.$$

Розмірність моменту інерції в системі СІ m^4 . Циліндричною жорсткістю пластини називають величину виразу

$$D = \frac{E \cdot 1h^3}{1-\mu^2 \cdot 12}.$$

Розмірність циліндричної жорсткості в системі СІ $N \cdot m^2$. Отже, вираз для функції радіального згинального момента мас вигляд

$$M_r = -D \left(\frac{d^2 w}{dr^2} + \frac{\mu}{r} \frac{dw}{dr} \right). \quad (3.6)$$

Розмірність питомого згинального момента M_r в системі СІ($H \cdot m$)/ m^2 = N .

Питомий згинальний момент, що діє в площині, ортогональній до діаметральної площини, тобто в коловому напрямку, називається *колою*. Він позначається M_θ . Його величина визначається інтегралом

18

$$M_\theta = \int_{-h/2}^{h/2} z \sigma_\theta(z) dA = -\int_{-h/2}^{h/2} z \frac{Ez}{1-\mu^2} \left(\mu \frac{d^2 w}{dr^2} + \frac{1}{r} \frac{dw}{dr} \right) dz = \\ = -\frac{E}{1-\mu^2} \left(\mu \frac{d^2 w}{dr^2} + \frac{1}{r} \frac{dw}{dr} \right) \int_{-h/2}^{h/2} z^2 dz.$$

Отже, вираз для функції колового згинального моменту має вигляд

$$M_\theta = -D \left(\mu \frac{d^2 w}{dr^2} + \frac{1}{r} \frac{dw}{dr} \right). \quad (3.7)$$

Правило знаків для згинальних моментів: згинальний момент вважається додатним, якщо при $z > 0$ нормальне напруження спричинює в шарі розтягнення. На рис.5 показані від'ємні згинальні моменти

Питома поперечна сила, що діє по циліндричному перерізу, називається *радіальною*. Вона позначається Q_r . Її величина визначається інтегралом

$$Q_r = \int_{-h/2}^{h/2} \tau_{rr}(z) dA = -\int_{-h/2}^{h/2} \frac{E}{1-\mu^2} \frac{d}{dr} \left(\frac{1}{r} \frac{d w}{dr} \right) \frac{1}{2} \left(\left(\frac{h}{2} \right)^2 - z^2 \right) dz.$$

Визначений інтеграл, який слід обчислити, збігається з величиною моменту інерції прямокутника ширину якого дорівнює одиниці довжини а висота дорівнює висоті пластини

$$\int_{-h/2}^{h/2} z^2 dz = \frac{1 \cdot h^3}{12}.$$

Отже, вираз для функції радіальної поперечної сили має вигляд

$$Q_r = -D \frac{d}{dr} \left(\frac{1}{r} \frac{d w}{dr} \right). \quad (3.8)$$

Розмірність питомої поперечної сили Q_r в системі СІ N/m .

19

4. Диференціальне рівняння рівноваги кільцевої пластини і його інтеграл

Умова рівноваги всіх сил, що діють на елемент, виділений із шару пластини (рис. 5), навісить

$$\sum F_z = -Q_r r d\theta + (Q_r + \frac{dQ_r}{dr})(r + dr) d\theta + q_r r dr d\theta = 0.$$

Звідси після спрошення одержуємо

$$r \frac{dQ_r}{dr} + Q_r = -rq_z.$$

Ліву частину рівняння можна записати у вигляді

$$\frac{d}{dr}(rQ_r) = r \frac{dQ_r}{dr} + Q_r.$$

Отже, рівняння рівноваги кільцевої пластини буде мати вигляд

$$\frac{d}{dr}(rQ_r) = -rq_z.$$

Після підстановки функції поперечної сили отримаємо основне диференціальне рівняння задачі для невідомої функції прогинів

$$\frac{d}{dr} \left(r D \frac{d}{dr} \left(\frac{1}{r} \frac{d w}{dr} \right) \right) = rq_z.$$

Для пластин постійної товщини циліндрична жорсткість пластини теж величина постійна і рівняння спрощується.

$$\frac{d}{dr} \left(r \frac{d}{dr} \left(\frac{1}{r} \frac{d w}{dr} \right) \right) = \frac{rq_z}{D}. \quad (4.1)$$

Така форма запису диференціального рівняння четвертого порядку зі змінними коефіцієнтами дозволить одержати його рішення в аналітичному вигляді. Переможивши ліву і праву частини рівняння (4.1) на диференціал dr і, проінтегрувавши рівняння, одержимо

$$\left[r \frac{d}{dr} \left(\frac{1}{r} \frac{d w}{dr} \right) \right] = \frac{1}{D} [rq_z] dr + C_1.$$

Розділивши ліву і праву частини рівняння на r і після інтегрування одержимо

$$\frac{1}{r} \frac{d w}{dr} = \frac{1}{D} \int r \frac{1}{r} [rq_z] dr + C_1 \ln r + C_2.$$

Переможивши ліву і праву частини рівняння на r і інтегруючи, одержимо

$$r \frac{d w}{dr} = \frac{1}{D} \int r \frac{1}{r} [rq_z] dr + C_1 \left(\frac{r^2}{2} \ln r - \frac{r^2}{4} \right) + C_2 \frac{r^2}{2} + C_3.$$

Розділивши ліву і праву частини рівняння на r і проінтегрувавши одержимо

$$w(r) = \frac{1}{D} \int r \frac{1}{r} [rq_z] dr + C_1 \left(\frac{r^2}{2} \ln r - \frac{r^2}{4} \right) \frac{1}{2} + C_2 \frac{r^2}{4} + C_3 \ln r + C_4.$$

Введемо нові позначення для довільних сталих

$$X_1 = \frac{C_1}{8}, \quad X_2 = -\frac{C_1}{8} + \frac{C_2}{4}, \quad X_3 = C_3, \quad X_4 = C_4.$$

Тоді функція прогинів кільцевої пластин

$$w(r) = X_1 r^2 \ln r + X_2 r^2 + X_3 \ln r + X_4 + \overline{w(r)}, \quad (4.2)$$

де X_1, X_2, X_3, X_4 є довільними стальми, обумовленими граничними умовами.

$$\overline{w(r)} = \frac{1}{D} \int r \left(\frac{1}{r} \int r [rq_z] dr \right) dr \quad (4.3)$$

є окреме рішення, що залежить від вигляду правої частини диференціального рівняння, тобто від вигляду функції навантаження.

Функція кута повороту циліндричного перерізу до середини поверхні пластин

$$\varphi(r) = \frac{dw(r)}{dr} = X_1 (2r \ln r + r) + 2X_2 r + X_3 \frac{1}{r} + \overline{\varphi(r)}, \quad (4.4)$$

21

$$\text{де } \overline{\phi}(r) = \frac{d\overline{w}(r)}{dr} = \frac{1}{D} \frac{1}{r} \int r \left(\frac{1}{r} \int (rq, dr) dr \right) dr \quad (4.5)$$

Обчислимо другу похідну функції прогинів

$$\frac{d^2 \overline{w}(r)}{dr^2} = X_1 (2 \ln r + 3) + 2X_2 - X_3 \frac{1}{r^2} + \frac{d^2 \overline{w}(r)}{dr^2}.$$

Підстановка виразів першої і другої похідних у (3.6) дозволяє одержати формулу для обчислення функції радіального згинального моменту в пластині

$$M_r(r) = -D(2(1+\mu) \ln r + 3 + \mu) X_1 - 2D(1+\mu) X_2 - D \frac{\mu-1}{r^2} X_3 + \overline{M}_r(r), \quad (4.6)$$

де

$$\overline{M}_r = -D \left(\frac{d^2 \overline{w}}{dr^2} + \frac{\mu d\overline{w}}{r dr} \right) \quad (4.7)$$

є доданок, що залежить від вигляду функції навантаження.

Функція колового згинального моменту

$$M_\theta(r) = -D(2(1+\mu) \ln r + 3\mu + 1) X_1 - 2D(1+\mu) X_2 - D \frac{1-\mu}{r^2} X_3 + \overline{M}_\theta(r), \quad (4.8)$$

де

$$\overline{M}_\theta = -D \left(\mu \frac{d^2 \overline{w}}{dr^2} + \frac{1 d\overline{w}}{r dr} \right). \quad (4.9)$$

Функції радіальної поперечної сили

$$Q_r(r) = -\frac{4D}{r} X_1 + \overline{Q}_r(r), \quad (4.10)$$

де

$$\overline{Q}_r = -D \frac{d}{dr} \left(\frac{1}{r} \frac{d \overline{w}}{dr} \right) \quad (4.11)$$

є доданок, що залежить від вигляду функції навантаження

5. Границі умови на контурі пластини

5. Границі умови на контурі пластини

Кромками кільцева пластина спирається на інші конструктивні елементи. Умови опирания пластини задають граничні умови для функції прогинів і її похідних. Функція прогину пластини повинна задовільнити диференціальному рівнянню задачі і заданих граничних умов. Диференціальне рівняння задачі (4.1) четвертого порядку, тому на кожній із двох кромок пластини повинно бути задано по дві граничні умови. Граничні умови можуть бути кінематичними (геометричними), статичними і змішаними.

1. Геометричні граничні умови. У цьому випадку задані величини переміщення точок кромки пластини і кут повороту поперечного переріза до середньої поверхні пластини. Тут можливі такі варіанти.

1.1. Затиснений край пластини. Відсутні переміщення і кут повороту поперечного переріза кожної точки контуру. Наприклад, для $r=b$, $w(b)=0$, $\phi(b)=0$.

1.2. Вертикальне переміщення всіх точок кромки пластини при одночасній відсутності повороту поперечного переріза. Наприклад, для $r=b$, $w(b)=c$, $\phi(b)=0$. Тут c – величина лінійного переміщення кромки в метрах.

1.3. Поворот перерізу всіх точок кромки пластини при одночасній відсутності лінійного переміщення. Наприклад, для $r=b$, $w(b)=0$, $\phi(b)=d$. Тут d – величина кута повороту перерізу в радианах.

2. Статичні граничні умови. У цьому випадку на кромці пластини задані значення зовнішнього розподіленого моментного навантаження і розподіленого поперечного навантаження. Тут можливі такі варіанти.

2.1. Вільний край пластини. В усіх точках контуру пластини відсутнє розподілене моментне і поперечне навантаження. Наприклад, для $r=a$, $M_r(a)=0$, $Q_r(a)=0$.

2.2. На кромці пластини діє тільки зовнішнє розподілене моментне навантаження. Наприклад, для $r=a$, $M_r(a)=m$, $Q_r(a)=0$. Тут m – величина зовнішнього моментного навантаження в ньютонах.

2.3. На кромці пластини діє тільки зовнішнє розподілене поперечне навантаження. Наприклад, для кромки $r=a$, $M_r(a)=0$, $Q_r(a)=g$. Тут g – величина зовнішнього поперечного навантаження в Н/м.

3. Змішані граничні умови. У цьому випадку на кромці пластини задано комбінацію зовнішніх розподілених навантажень і лінійних переміщень. Тут можливі такі варіанти.

3.1. Шарнірно оперта кромка. В усіх точках кромки пластини одночасно відсутні лінійне переміщення і розподілене моментне навантаження. Наприклад, $r=a$, $w(a)=0$, $M_r(a)=0$.

3.2. На кромці пластини діє тільки розподілене моментне навантаження в ньютонах. Наприклад, для $r=a$, $M_r(a)=m$, $w(a)=0$.

3.3. Вертикальне переміщення всіх точок кромки пластини при одночасній відсутності розподіленого моментного навантаження. Наприклад, $r=a$, $w(a)=c$, $M_r(a)=0$.

3.4. Якщо в кільцевій пластині є кілька ділянок з різними геометричними або механічними характеристиками або відсутніє гладкість і безперервність функції навантаження, то необхідно на границі суміжних ділянок забезпечити умови спільноти деформації і задовільнити умови рівноваги. Наприклад, при $r=c_k$ повинно виконуватись:

$$\begin{aligned} \text{умова плавності кривої прогинів} & \quad \varphi^{(k)}(c_k) = \varphi^{(k+1)}(c_k) \\ \text{умова нерозривності переміщень} & \quad w^{(k)}(c_k) = w^{(k+1)}(c_k) \\ \text{умова рівності згинальних моментів} & \quad M^{(k)}(c_k) = M^{(k+1)}(c_k) \\ \text{умова рівності поперечних сил} & \quad Q^{(k)}(c_k) = Q^{(k+1)}(c_k) \end{aligned}$$

3.5. Якщо на границі між ділянками прикладено моментне навантаження m_k і поперечне навантаження p , то при $r=c_k$ повинно виконуватись:

$$\begin{aligned} \text{умова плавності кривої прогинів} & \quad \varphi^{(k)}(c_k) = \varphi^{(k+1)}(c_k) \\ \text{умова нерозривності переміщень} & \quad w^{(k)}(c_k) = w^{(k+1)}(c_k) \\ \text{умова рівності згинальних моментів} & \quad M^{(k)}(c_k) = M^{(k+1)}(c_k) + m_k \\ \text{умова рівності поперечних сил} & \quad Q^{(k)}(c_k) = Q^{(k+1)}(c_k) + p_k \end{aligned}$$

6. Обчислення нормальних і дотичних напружень у розрахунках міцності кільцевих пластин

Коли функція прогинів відома, то нормальні напруження σ_r і σ_θ можуть бути обчислені за виразом (3.2), а дотичні напруження τ_{rz} за виразом (3.5). Однак, якщо раніше уже були визначені функції згинальних моментів M_r і M_θ , а також визначена функція поперечної сили Q , і, більш того, побудовано епюри зусиль, то можливо більш просте рішення. Дійсно, нормальні напруження σ_r і радіальний згинальний момент M_r визначаються виразами

$$\sigma_r = -\frac{Ez}{1-\mu^2} \left(\frac{d^2 w}{dr^2} + \frac{\mu dw}{r dr} \right), \quad M_r = -\frac{E}{1-\mu^2} \frac{h^3}{12} \left(\frac{d^2 w}{dr^2} + \frac{\mu dw}{r dr} \right).$$

Розглядаючи їх спільно і включаючи диференціальний оператор у першому за допомогою другого, одержимо формулу для визначення нормальніх напружень σ_r . Аналогічно виводиться

формула для визначення нормальних напружень σ_θ . Розмірність нормальних напружень $H \cdot m^3 / m^3 = H/m^2 = \text{Па}$

$$\sigma_r = \frac{M_z}{h^3} z, \quad \sigma_\theta = \frac{M_\theta}{h^3} z. \quad (6.1)$$

Отримані вирази для нормальних напружень показують, що найбільше значення нормальних напружень досягають у точках на поверхні пластини. Якщо в цьому місці поверхневе навантаження відсутнє, то в пластині виникає плоский напруженний стан. У цих точках і виконується перевірка міцності пластини за головними напруженнями.

Дотичні напруження τ_z і радіальна поперечна сила Q_r визначаються виразами

$$\tau_z(r) = \frac{E}{1-\mu^2} \frac{d}{dr} \left(\frac{1}{r} \frac{d}{dr} \left(r \frac{dw}{dr} \right) \right) S(z), \quad Q_r = -D \frac{d}{dr} \left(\frac{1}{r} \frac{d}{dr} \left(r \frac{dw}{dr} \right) \right).$$

Розглядаючи їх спільно і включаючи диференційний оператор у першому за допомогою другого, одержимо формулу для визначення дотичних напружень τ_z . Розмірність дотичних напружень $H/m^2 = \text{Па}$

$$\tau_z = -\frac{Q_r S(z)}{lh^3}. \quad (6.2)$$

Отримані вирази для дотичних напружень показують, що найбільшого значення вони досягають у точках на серединній поверхні пластини. У цих точках виконується перевірка міцності пластини по дотичних напруженнях.

7. Методичні вказівки до виконання розрахунково-графічної вправи на тему «Розрахунок кільцевої пластини на міцність і жорсткість»

При розрахунку на міцність і жорсткість пластин можливі наступні задачі.

1. Перевірка міцності і/або жорсткості пластини.

2. Визначення припустимої за міцністю або жорсткостю величин навантаження або величини переміщення кромки пластини.

3. Визначення величини коефіцієнта запасу за умовою міцності і/або жорсткості.

Усі задачі вимагають попереднього рішення крайової задачі для невідомої функції прогинів. Відмінна риса другої задачі полягає в тому, що невідома величина навантаження, що допускається, вводиться як параметр, що визначається після рішення крайової задачі. Рішенням крайової задачі передує обов'язкова перевірка відповідності геометричних параметрів пластини і прийнятим у лінійній теорії пластин обмеженням для тонких гнутих пластин. Це можливо виконати лише в перерахованих раніше задачах, коли цілком визначена геометрія пластини.

Крайова задача для невідомої функції прогинів вирішується в такій послідовності.

1. Обчислення величини циліндричної жорсткості пластини.

2. Визначення заданих на кромках пластини граничних умов для невідомої функції.

3. Складання системи рівнянь.

4. При наявності зовнішнього навантаження виведення формул для вільних членів системи лінійних алгебраїчних рівнянь і наступне обчислення їхніх значень.

5. Рішення системи лінійних алгебраїчних рівнянь з наступною перевіркою коренів.

6. Виведення формул, що визначають вид шуканих функцій переміщення і зусиль.

7. Задані сітки й обчислення значень функцій у вузлах сітки. Побудова епюри.

8. Перевірка виконання обмеження за величиною найбільшого прогину, що прийнята в лінійній теорії пластин.

9. За умови виконання обмежень на величину найбільшого прогину виконується рішення першої і третьої з перерахованих раніше задач.

10. При рішенні другої задачі спочатку, використовуючи задані в умові задачі обмеження за міцністю і/або жорсткостю, визначається шуканий параметр навантаження або переміщення, а потім уже виконується перевірка міцності і/або жорсткості пластини

8. Пластини, внутрішня кромка якої жорстко закріплена, а зовнішня вільна і навантажена розподіленим поперечним навантаженням

Задано кільцеву пластину, на внутрішній кромці якої є в'язі, що обмежують поворот і лінійні переміщення. Зовнішня кромка вільна від усіх в'язей і вздовж неї діє зовнішнє розподілене поперечне навантаження (рис.6). Товщина пластини $h = 0,02 \text{ м}$. Внутрішній радіус $a = 0,15 \text{ м}$, зовнішній радіус $b = 1,05 \text{ м}$. Матеріал пластини сплав алюмінію марки ДТ5. Модуль пружності $E = 70 \text{ ГПа}$, коефіцієнт поперечної деформації $\mu = 0,3$. Нормальне напруження, що допускається, $\sigma_{adm} = 70 \text{ МПа}$. Визначити за умовою

жорсткості пластини величину допустимого розподіленого поперечного навантаження, якщо допустимий відносний прогин не перевищує $1/200$. Побудувати епюри переміщень і зусиль. Переїрити міцність пластини.

Розв'язання задачі

Розподілене вздовж зовнішньої кромки поперечне навантаження невідоме. Розглянемо її величину як невідомий параметр і позначимо p_{adm} . Щоб визначити p_{adm} необхідно знайти найбільший прогин пластини w_{max} як функцію цього параметра, і, використовуючи умову жорсткості, обчислити величину навантаження, що допускається. Для перебування w_{max} необхідно вирішити крайову задачу для невідомої функції прогинів $w(p_{adm}, r)$. Відомо, що прольот пластини $l = b - a = 1,05 - 0,15 = 0,9 \text{ м}$ і відношення

$$\frac{h}{b-a} = \frac{0,02}{0,9} = \frac{1}{45}$$

задовільняє обмеженням для тонких пластин. Для визначення її напруженого деформованого стану можна застосувати формулі і методи лінійної теорії пластин.

Невідома функція прогинів пластини $w(p_{adm}, r)$ визначається формулою (4.2). Чотири постійні інтегрування X_1, X_2, X_3, X_4 визначаються граничними умовами задачі. На внутрішній кромці пластини є в'язі, що обмежують поворот і лінійне переміщення, тому

при $r = a w(p_{adm}, a) = 0, \phi(p_{adm}, a) = 0$.

Зовнішня кромка пластини вільна від усіх в'язей і вздовж неї діє тільки зовнішнє розподілене поперечне навантаження, тому

при $r = b M_r(p_{adm}, b) = 0, Q_r(p_{adm}, b) = p_{adm}$.

За допомогою формул (4.2), (4.4), (4.6) і (4.10) одержимо систему чотирьох лінійних алгебраїчних рівнянь

$$w(p_{adm}, a) = 0, \quad a^2 \ln(a) X_1 + a^2 X_2 + \ln(a) X_3 + X_4 + \bar{w}(p_{adm}, a) = 0;$$

$$\begin{aligned} \varphi(p_{adm}, a) = 0, & \quad 2a\ln(a) + aJ_1X_1 + 2aJ_2X_2 + \frac{1}{a}X_3 + \bar{\varphi}(p_{adm}, a) = 0; \\ M_r(p_{adm}, b) = 0, & \quad -D[2(I+\mu)\ln(b) + 3 + \mu/J_1] - 2D(I + \mu)X_2 - D \times \\ & \times \frac{\mu - 1}{b^2} X_3 + \bar{M}_r(p_{adm}, b) = 0; \\ Q_r(p_{adm}, b) = p_{adm}, & \quad -\frac{4D}{b} X_1 + \bar{Q}_r(p_{adm}, r) = p_{adm}. \end{aligned}$$

Розподілене по поверхні пластини поперечне навантаження відсутнє, тому вільні члени перших трьох рівнянь рівні нулю. Обчислимо значення коефіцієнтів і запишемо систему рівнянь у вигляді табл. 8.1

Таблиця 8.1

Номер рівняння	X_1	X_2	X_3	X_4	= 1
1	-0,42622·10 ⁻¹	0,225·10 ⁻¹	-1,8943	1	0
2	-0,4183	0,3	6,6667	0	0
3	-0,34323·10 ⁻⁶	-0,26042·10 ⁻⁶	0,63594·10 ⁻⁵	0	0
4	-0,38156·10 ⁻⁶	0	0	0	p_{adm}

Система рівнянь параметрична. Її корені залежать від значення параметра p_{adm} . Значення першого невідомого визначається рішенням четвертого рівняння

$$X_4 = -2,62082 \cdot 10^{-6} p_{adm}.$$

Після його підстановки в друге і третє рівняння для визначення невідомих X_2 і X_3 одержимо систему двох лінійних алгебраїчних рівнянь (табл. 8.2)

Таблиця 8.2

Номер рівняння	X_2	X_3	1
2	0,3	6,6667	-1,09628·10 ⁻⁶ p_{adm}
3	-0,26042·10 ⁻⁶	0,63594·10 ⁻⁵	-8,99544·10 ⁻⁷ p_{adm}

30

Корені цієї системи $X_2 = 0,3377 \cdot 10^{-5} p_{adm}$, $X_3 = -0,31641 \times 10^{-6} p_{adm}$. Невідоме X_4 визначається рішенням першого рівняння $X_4 = -0,7871 \cdot 10^{-6} p_{adm}$. Перевірка коренів системи рівнянь дає такі результати. Абсолютний відхилення рівняння системи дорівнює $-0,56843 \cdot 10^{-13} p_{adm}$. Відхилення третього рівняння системи дорівнює відповідно $0,164 \cdot 10^{-12} p_{adm}$ і $0,1213 \cdot 10^{-7} p_{adm}$. Відхилення четвертого рівняння системи дорівнює нулю. Найбільший відносний відхилення менше $1,3 \cdot 10^{-5}\%$. Це означає, що система лінійних алгебраїчних рівнянь розв'язана вірно.

Підставляючи знайдені значення коренів у формулу (4.2), одержимо функцію прогинів

$$w(p_{adm}, r) = -0,2621 \cdot 10^{-5} p_{adm} r^2 \ln(r) + 0,3377 \cdot 10^{-5} p_{adm} r^2 - 0,3164 \times 10^{-6} p_{adm} \ln(r) - 0,7871 \cdot 10^{-6} p_{adm}$$

Для визначення найбільшого прогину розділимо прольот на шість рівних частин і обчислимо значення функції в точках розподілу. Результати представимо у вигляді табл. 8.3.

Таблиця 8.3

Номер точки	r	$w(p_{adm}, r)$
1	0,15	0
2	0,3	$0,1818 \cdot 10^{-6} p_{adm}$
3	0,45	$0,5732 \cdot 10^{-6} p_{adm}$
4	0,6	$0,1072 \cdot 10^{-5} p_{adm}$
5	0,75	$0,1628 \cdot 10^{-5} p_{adm}$
6	0,9	$0,2205 \cdot 10^{-5} p_{adm}$
7	1,05	$0,278 \cdot 10^{-5} p_{adm}$

Найбільше значення функції прогинів досягається при $r = bw_{max}(p_{adm}, b) = 0,278 \cdot 10^{-5} p_{adm}$. За умовою жорсткості ця величина повинна бути обмежена величиною допустимого прогину $wadm = (b-a)/200 = 4,5 \cdot 10^{-3}$ м. Підставивши в умову жорсткості

31

$w_{max} \leq w_{adm}$, отримані вирази і замінивши нестрогу нерівність на рівність, одержимо рівняння для визначення шуканої величини допустимого навантаження, $0,278 \cdot 10^{-5} p_{adm} = 4,5 \cdot 10^{-3}$. Його рішення $p_{adm} = 1,618$ кН/м визначить величину розподіленого по кромці навантаження, при якій найбільший відносний прогин у пластині дорівнює $1/200$. Приймаємо $p = 1,6$ кН/м. Це дозволяє визначити функції переміщення і зусиль, що визначають напружену деформований стан пластини.

Функція прогинів $w(r) = -0,41933 \cdot 10^{-2} r^2 \ln(r) + 0,54032 \times 10^{-2} r^2 - 0,50625 \cdot 10^{-3} \ln(r) - 0,12593 \cdot 10^{-2}$.

Функція кута повороту $\varphi(r) = -0,41933 \cdot 10^{-2} [2r \ln(r) + r] + 1,0806 \times 10^{-2} r - 0,50625 \cdot 10^{-3} r$.

Функція радіального згин. моменту $M_r(r) = 4,2 \cdot 10^2 [2,6 \ln(r) + 3,3] - 1,4071 \cdot 10^{-3} - 3,5494 \cdot 10^{-4} / r^2$.

Функція колового згин. моменту $M_s(r) = 4,2 \cdot 10^2 [2,6 \ln(r) + 1,9] - 1,4071 \cdot 10^{-3} + 3,5494 \cdot 10^{-4} / r^2$.

Функція радіальної поперечної сили $Q_r(r) = 1,68 \cdot 10^3 r$.

Для побудови епюри переміщення і зусиль (рис. 6) розділимо прольот на шість рівних частин і обчислимо значення функцій в точках розподілу. Обчислення функцій $w(r)$, $\varphi(r)$, $M_r(r)$, $M_s(r)$, $Q_r(r)$ виконане на МК "Casio" fx-570W, (див. розділ 12), де як приклад складена програма обчислення функцій кута повороту φ обчислена її значення в точці $r=0,7$ м. Результати обчислень, отримані на МК "Casio", округлюються. Зберігаються принаймні три знаки мантиси числа. Результати обчислення значень функцій представлені в табл. 8.4.

Таблиця 8.4

Номер точки розподілу	$r, \text{м}$	$w(r), \text{м}$	$dw/dr, \text{радіани}$	$M_r(r), \text{кНм}$	$M_s(r), \text{кНм}$	$Q_r(r), \text{кН}$
1	0,15	0	0	-3,667	-1,1	11,2
2	0,3	$0,2909 \cdot 10^{-3}$	$3,325 \cdot 10^{-3}$	-1,73	-1,529	5,6
3	0,45	$0,9171 \cdot 10^{-3}$	$4,864 \cdot 10^{-3}$	-1,068	-1,306	3,733
4	0,6	$1,716 \cdot 10^{-3}$	$5,695 \cdot 10^{-3}$	-0,677	-1,068	2,8
5	0,75	$2,604 \cdot 10^{-3}$	$6,094 \cdot 10^{-3}$	-0,398	-0,86	2,24
6	0,9	$3,528 \cdot 10^{-3}$	$6,185 \cdot 10^{-3}$	-0,18	-0,68	1,867
7	1,05	$4,447 \cdot 10^{-3}$	$6,032 \cdot 10^{-3}$	0	-0,5236	1,6

Побудована епюра прогинів дозволяє визначити циліндричний перетин $r=b$, де функція $w(r)$ досягає найбільшого значення $w_{max} = 4,447 \cdot 10^{-3}$ м (рис. 6). Відношення найбільшого абсолютноного прогину до товщини пластини, що характеризує жорсткість гнучких тонких пластин, не виконується. Похідка складає близько 10%.

$$\frac{w_{max}}{h} = \frac{4,447 \cdot 10^{-3}}{0,02} = \frac{1}{4,49} > \frac{1}{5}$$

Формально слід відмовитися від подальшого розрахунку пластини за лінійною теорією вигину пластинні перейти до розрахунку за нелінійною теорією. Однак, якщо можна погодитись з такою величиною похибки при оцінці жорсткості гнучкої тонкої пластини, то розрахунок варто продовжити.

32

33

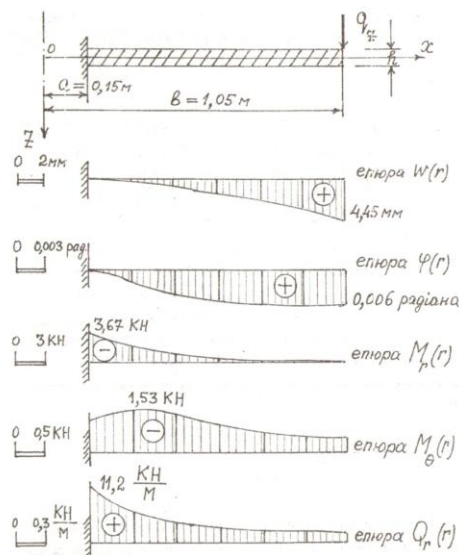


Рис. 6

Побудовані епори зусиль дозволяють визначити небезпечний циліндричний перетин $r=a$, де функція радіального згинального моменту досягає найбільшого значення. На верхній площині пластини в точці з координатами $r=a$ і $z=-h/2$ виникають напруження

$$\sigma_z(a, -h/2) = \frac{6M_z}{h^3} = \frac{6 \cdot 3,667 \cdot 10^3}{0,025^3} = 35,2 \text{ МПа},$$

$$\sigma_\theta(a, -h/2) = \frac{6M_\theta}{h^3} = \frac{6 \cdot 1,1 \cdot 10^3}{0,025^3} = 10,56 \text{ МПа}.$$

У пій точці дотичні напруження в площині пластини відсутні, тому радіальні й колові нормальні напруження одночасно є головними

$$\sigma_1 = \sigma_z(a, -h/2) = 35,2 \text{ МПа}, \sigma_2 = \sigma_\theta(a, -h/2) = 10,56 \text{ МПа}, \sigma_3 = 0.$$

ДТ – 5 пластичний матеріал. Перевірку міцності варто робити за третьою теорією міцності

$$\sigma_1 - \sigma_3 = 35,2 - 0 = 35,2 \text{ МПа} < \sigma_{adm} = 70 \text{ МПа}.$$

Умова міцності виконується. У перетині $r=a$ функція поперецької сили досягає найбільшого значення $Q_r(a) = 11,2 \text{ кН/м}$. Перевірка міцності по дотичних напруженнях τ_{max} (див. формулу (6.2)) слід робити в точці з координатами $r=az=0$, де вони досягають максимуму

$$\tau_{max} = \tau_{\theta}(a, 0) = -\frac{Q_r S(0)}{h^3} = -\frac{3}{2} \frac{Q_r}{h} = \frac{3}{2} \frac{11,2 \cdot 10^3}{0,025} =$$

$$= 0,672 \text{ МПа} < \tau_{adm} = \frac{\sigma_{adm}}{2} = 35 \text{ МПа}$$

Умова міцності по дотичних напруженнях виконується.

Перевірку жорсткості пластини слід проводити в перетині $r=b$, де $w_{max} = 4,447 \cdot 10^{-3} \text{ м}$. Допустимий прогин $wadm = (b-a)/200 = 0,9/200 = 4,5 \cdot 10^{-3} \text{ м}$. Умова жорсткості пластини виконується $w_{max} = 4,447 \cdot 10^{-3} \text{ м} < wadm = 4,5 \cdot 10^{-3} \text{ м}$.

9. Пластини, зовнішня кромка якої прикріплена шарнірно, внутрішня жорстко закріплена в центральному абсолютно твердому диску і переміщується разом з ним

Задано кільцеву пластину, на внутрішній кромці якої є в'язі, що обмежують її поворот і не перешкоджають вертикальному лінійному переміщенню. Зовнішня кромка прикріплена шарнірно (рис. 7). Товщина пластини $h = 0,03 \text{ м}$. Внутрішній радіус $a = 0,03 \text{ м}$, зовнішній радіус $b = 0,85 \text{ м}$. Матеріал пластини чавун сірий. Модуль пружності чавуну $E = 120 \text{ ГПа}$, коефіцієнт поперечного деформації $\mu = 0,23$. Нормальне допустиме напруження на розтяг $\sigma_{adm} = 70 \text{ МПа}$, а на стиск $\sigma_{adm,s} = 120 \text{ МПа}$. Потрібно визначити за умовою міцності пластини величину допустимого лінійного переміщення диска. Побудувати епори переміщень і зусиль. Пере-вірити міцність і жорсткість пластини.

Розв'язання задачі

Величина вертикального лінійного переміщення диска невідома. Розглянемо величину лінійного переміщення диска як невідомий параметр і позначимо його як A_{adm} . Щоб визначити A_{adm} , необхідно знайти найбільше нормальні напруження σ_{max} як функцію цього параметра, і, використовуючи умову міцності, обчислити допустиму величину лінійного переміщення диска. Для визначення нормального напруження потрібно знати згинальний момент, що виражається через першу і другу похідні функції прогинів. Для знаходження $w(A_{adm}, r)$ необхідно вирішити крайову задачу. Відомо, що проліт пластини $l = b-a = 0,85 - 0,03 = 0,82 \text{ м}$ відношення

$$\frac{h}{b-a} = \frac{0,03}{0,82} = \frac{1}{27,333}$$

задовільняє обмеженням для тонких пластин. Для визначення її напруженого деформованого стану можна застосувати формулі і методи лінійної теорії пластин.

Невідома функція прогинів пластини $w(A_{adm}, r)$ визначається формулою (4.2). Чотири постійні інтегрування X_1, X_2, X_3, X_4 визначаються граничними умовами задачі. На внутрішній кромці пластини є в'язі, що обмежують поворот кромки і не перешкоджають лінійному переміщенню, тому

$$\text{при } r = aw(A_{adm}, a) = A_{adm}, \varphi(A_{adm}, a) = 0.$$

Зовнішня кромка пластини шарнірно оперта, тому

$$\text{при } r = bw(A_{adm}, b) = 0, \varphi(A_{adm}, b) = 0.$$

За допомогою формул (4.2), (4.6), (4.2) і (4.4) одержимо систему з чотирьох лінійних алгебраїчних рівнянь:

$$\begin{aligned} w(A_{adm}, a) &= A_{adm}, \quad a^2 \ln(a) X_1 + a^2 X_2 + \ln(a) X_3 + X_4 + \bar{w}(A_{adm}, a) = A_{adm}; \\ M_r(A_{adm}, a) &= 0, \quad -D[2(I+\mu)\ln(a) + 3 + \mu]X_1 - 2D(I+\mu)X_2 - D \frac{l-1}{a^2} X_3 + \\ &\quad + M_r(A_{adm}, a) = 0; \\ w(A_{adm}, b) &= 0, \quad b^2 \ln(b) X_1 + b^2 X_2 + \ln(b) X_3 + X_4 + \bar{w}(A_{adm}, b) = 0; \\ \varphi(A_{adm}, b) &= 0, \quad [2b \ln(b) + b]X_1 + 2b X_2 + \frac{1}{b} X_3 + \bar{\varphi}(A_{adm}, b) = 0. \end{aligned}$$

Розподілене по поверхні пластини поперечне навантаження відсутнє, тому вільні члени останніх трьох рівнянь дорівнюють нулю. Обчислимо значення коефіцієнтів рівнянь і запишемо систему у вигляді табл. 9.1

Таблиця 9.1

Номер рівняння	X_1	X_2	X_3	X_4	=1
1	-0,28964·10 ⁻²	0,9·10 ⁻³	-3,2183	1	\mathcal{A}_{adm}
2	-0,16309	0,06	33,3333	0	0
3	-0,11742	0,7225	-0,16252	1	0
4	-0,80684·10 ⁶	-0,7013·10 ⁶	0,30382·10 ⁶	0	0

Система рівнянь параметрична. Її корені залежать від значення параметра \mathcal{A}_{adm} . Рішення системи, виконане шляхом послідовного зниження невідомих (метод Гаусса), дає такі корені

$$\begin{aligned} X_1 &= 0,08545 \cdot \mathcal{A}_{adm}, X_2 = -1,24552 \cdot \mathcal{A}_{adm}, \\ X_3 &= 0,75529 \cdot 10^{-2} \cdot \mathcal{A}_{adm}, X_4 = 1,02857 \cdot \mathcal{A}_{adm}. \end{aligned}$$

Перевірка коренів системи рівнянь дає наступні результати. Абсолютний відхилення первого рівняння системи дорівнює нулю. Відхилення другого, третього і четвертого рівняння системи дорівнюють відповідно $-0,37292 \cdot 10^{-7} \cdot \mathcal{A}_{adm}$, $-0,11921 \cdot 10^{-6} \cdot \mathcal{A}_{adm}$ і $-0,73944 \cdot 10^{-1} \cdot \mathcal{A}_{adm}$. Найбільший відхилення відхилення менше $3 \cdot 10^{-5}$ %. Це значить, що система лінійних алгебраїчних рівнянь вирішена вірно.

Підставляючи знайдені значення коренів X_1, X_2, X_3, X_4 (4.6), одержимо формулу радіального згинального моменту в пластині

$$\begin{aligned} M_r(\mathcal{A}_{adm}, r) &= -3,0944 \cdot 10^5 \cdot \mathcal{A}_{adm} [2,46 \cdot \ln(r) + 3,23] + \\ &+ 8,7348 \cdot 10^5 \cdot \mathcal{A}_{adm} + \frac{1,65795 \cdot 10^3}{r^2} \cdot \mathcal{A}_{adm}. \end{aligned}$$

Підставляючи знайдені значення коренів X_1, X_2, X_3, X_4 (4.8), одержимо формулу колового моменту в пластині

$$\begin{aligned} M_\theta(\mathcal{A}_{adm}, r) &= -3,0944 \cdot 10^5 \cdot \mathcal{A}_{adm} [2,46 \cdot \ln(r) + 1,69] + \\ &+ 8,7348 \cdot 10^5 \cdot \mathcal{A}_{adm} + \frac{1,65795 \cdot 10^3}{r^2} \cdot \mathcal{A}_{adm}. \end{aligned}$$

38

39

Для обчислення значень $M_r(\mathcal{A}_{adm}, r)$ і $M_\theta(\mathcal{A}_{adm}, r)$ розділимо прольот на вісім рівних частин і обчислимо значення функції в точках розподілу. Результати представимо у вигляді табл. 9.3.

Таблиця 9.3

Номер точки	r	$M_r(\mathcal{A}_{adm}, r)$	$M_\theta(\mathcal{A}_{adm}, r)$
1	0,03	$0,4166 \cdot 10^7 \cdot \mathcal{A}_{adm}$	$0,95817 \cdot 10^6 \cdot \mathcal{A}_{adm}$
2	0,133	$0,15031 \cdot 10^7 \cdot \mathcal{A}_{adm}$	$0,17907 \cdot 10^7 \cdot \mathcal{A}_{adm}$
3	0,235	$0,10063 \cdot 10^7 \cdot \mathcal{A}_{adm}$	$0,14228 \cdot 10^7 \cdot \mathcal{A}_{adm}$
4	0,338	$0,71538 \cdot 10^7 \cdot \mathcal{A}_{adm}$	$0,11628 \cdot 10^7 \cdot \mathcal{A}_{adm}$
5	0,44	$0,50751 \cdot 10^6 \cdot \mathcal{A}_{adm}$	$0,96692 \cdot 10^6 \cdot \mathcal{A}_{adm}$
6	0,543	$0,34516 \cdot 10^6 \cdot \mathcal{A}_{adm}$	$0,81044 \cdot 10^6 \cdot \mathcal{A}_{adm}$
7	0,645	$0,21178 \cdot 10^5 \cdot \mathcal{A}_{adm}$	$0,68035 \cdot 10^5 \cdot \mathcal{A}_{adm}$
8	0,748	$0,98491 \cdot 10^5 \cdot \mathcal{A}_{adm}$	$0,56909 \cdot 10^5 \cdot \mathcal{A}_{adm}$
9	0,85	0	$0,47195 \cdot 10^5 \cdot \mathcal{A}_{adm}$

Найбільшого значення функція радіального згиначного момента досягає при $r=a$, де $M_r(\mathcal{A}_{adm}, a) = 0,4166 \cdot 10^7 \cdot \mathcal{A}_{adm}$. У точці з координатами $r=a, z=h/2$ виникає найбільше радіальне нормальні розтяжні напруження (див. формулу (6.1))

$$\sigma_r(a, \frac{h}{2}) = \frac{6 \cdot M_r}{h^2} = \frac{6 \cdot 0,4166 \cdot 10^7 \cdot \mathcal{A}_{adm}}{0,03^2} = 2,7773 \cdot 10^{10} \cdot \mathcal{A}_{adm}.$$

У точці з координатами $r=a, z=-h/2$ виникає найбільше стискаюче радіальне нормальні напруження

$$\sigma_r(a, -\frac{h}{2}) = \frac{6 \cdot M_r}{h^2} = \frac{6 \cdot 0,4166 \cdot 10^7 \cdot \mathcal{A}_{adm}}{0,03^2} = -2,7773 \cdot 10^{10} \cdot \mathcal{A}_{adm}.$$

Чавун – скрихкий матеріал, що по-різномъ опирається розтяганню і стиску. Величина допустимого напруження на розтяг менше, ніж за стиск $\sigma_{adm,r} < \sigma_{adm,z}$. Тому умову міцності варто перевіряти в точці з координатами $r=a, z=h/2$ за розтяжними нагруженнями

нями. Умова міцності за першою теорією міцності вимагає, щоб величина найбільшого розтяжного напруження, не перевищувала величини допустимої напруги на розтяг для чавунів

$$\sigma_r(a, \frac{h}{2}) = 2,7773 \cdot 10^{10} \cdot \mathcal{A}_{adm} < \sigma_{adm,r} = 70 \text{ МПа}.$$

Замінивши нестрогу нерівність на рівність, одержимо рівняння для визначення шуканої величини допустимого переміщення

$$2,7773 \cdot 10^{10} \cdot \mathcal{A}_{adm} = 70 \cdot 10^6.$$

Величина допустимого переміщення дорівнює $\mathcal{A}_{adm} = 2,52 \cdot 10^{-3}$ м. Приймемо $\mathcal{A}_{adm} = 2,5 \cdot 10^{-3}$ м. Це дозволяє визначити функції переміщення і зусиль, що визначають напружене деформований стан пластини.

Функція прогинів $w(r) = 2,7136 \cdot 10^{-3} \cdot r^2 \ln(r-3,1138 \cdot 10^{-3} \cdot r^2 + 1,8882 \cdot 10^{-3} \ln(r) + 2,57 \cdot 10^{-3}$.

Функція кута повороту $\phi(r) = 2,7136 \cdot 10^{-3} \cdot [2r \ln(r) + r] - 6,2276 \cdot 10^{-3} \cdot r + 1,8882 \cdot 10^{-3} \cdot r$.

Функція радіального згиначного моменту

$$M_r(r) = -7,7338 \cdot 10^5 [2,46 \ln(r) + 3,23] + 2,1837 \cdot 10^3 + 4,1448/r^2.$$

Функція колового згиначного моменту

$$M_\theta(r) = -7,7338 \cdot 10^5 [2,46 \ln(r) + 1,69] + 2,1837 \cdot 10^3 - 4,1448/r^2.$$

Функція радіальної поперечної сили

$$Q_r(r) = -3,0944 \cdot 10^5 / r.$$

Для побудови епюр переміщення і зусиль (рис. 7) розділимо прольот на вісім рівних частин і обчислимо значення функцій в точках розподілу. Результати представимо у вигляді табл. 9.4.

40

Таблиця 9.4

Номер точки розподілу	r , м	$w(r)$, м	dw/dr , радіани	$M_r(r)$	$M_\theta(r)$	$Q_r(r)$
				кНм	кНм	кН
1	0,03	$2,50 \cdot 10^{-3}$	0	10,41	2,395	-103,15
2	0,133	$2,383 \cdot 10^{-3}$	$-1,773 \cdot 10^{-3}$	3,758	4,477	-23,354
3	0,235	$2,155 \cdot 10^{-3}$	$-2,592 \cdot 10^{-3}$	2,516	3,557	-13,168
4	0,338	$1,86 \cdot 10^{-3}$	$-3,12 \cdot 10^{-3}$	1,788	2,907	-9,168
5	0,44	$1,522 \cdot 10^{-3}$	$-3,464 \cdot 10^{-3}$	1,269	2,417	-7,033
6	0,543	$1,155 \cdot 10^{-3}$	$-3,672 \cdot 10^{-3}$	0,863	2,026	-5,704
7	0,645	$0,7727 \cdot 10^{-3}$	$-3,772 \cdot 10^{-2}$	0,529	1,7	-4,797
8	0,748	$0,3848 \cdot 10^{-3}$	$-3,782 \cdot 10^{-3}$	0,246	1,423	-4,14
9	0,85	0	$-3,714 \cdot 10^{-3}$	0	1,18	-3,46

Побудовані епюри прогинів дозволяють визначити циліндричний перетин $r=a$, де функція $w(r)$ досягає найбільшого значення $w_{max} = 2,5 \cdot 10^{-3}$ м (рис. 7). Відношення найбільшого абсолютноного прогину до товщини пластини, що характеризує жорсткість гнучких тонких пластин, виконується

$$\frac{w_{max}}{h} = \frac{0,25 \cdot 10^{-2}}{0,03} = \frac{1}{12} < \frac{1}{5}.$$

Побудовані епюри зусиль дозволяють досліджувати зміну згинальних моментів в кільцевій пластині. У небезпечному циліндричному перетині при $r=a$ функція радіального згиначного моменту досягає найбільшого значення $M_r(r) = 10,415 \frac{\text{kNm}}{\text{m}}$. У цьому перетині в точці $r=b$ і $z=h/2$ виникає найбільше радіальне розтяжне напруження

$$\sigma_{max} = \sigma_r(a, h/2) = \frac{6M_r}{h^2} = \frac{6 \cdot 10,415 \cdot 10^3}{0,03^2} = 69,33 \text{ МПа}$$

41

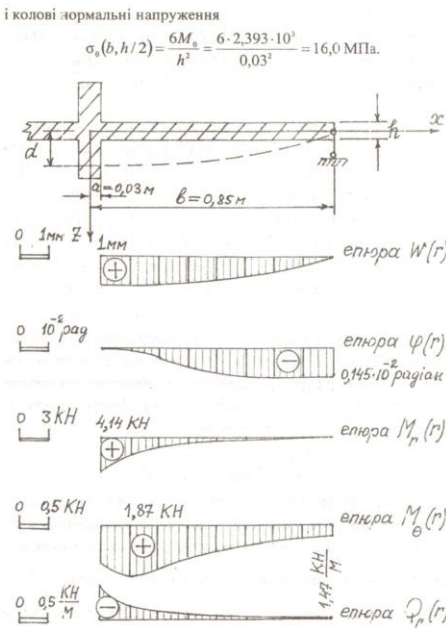


Рис. 7

42

У цій точці дотичні напруження в площині пластиині відсутні. Тому радіальні й колові нормальні напруження одночасно є головними

$$\sigma_1 = \sigma_0(b, h/2) = 69,33 \text{ МПа}, \quad \sigma_2 = \sigma_0(b, h/2) = 16,0 \text{ МПа}, \quad \sigma_3 = 0.$$

Чавун – крихкий матеріал, що неоднаково чинить опір на розтягання і стискання $\sigma_{adm,r} < \sigma_{adm,\theta}$. Тому умову міцності по нормальним напругах варто перевірити за першою теорією міцності у точках з координатами $b, z = h/2$, де діють напруги, що розтягують

$$\sigma_{max} = 69,33 \text{ МПа} < \sigma_{adm} = 70 \text{ МПа}.$$

Умова міцності по нормальних напругах виконується. У поперечній $r=a$ функції поперечної сили також досягає найбільшого значення $Q_r(a) = -103,15 \text{ кН/м}$. Найбільші дотичні напруження будуть на рівні середини площини при $z=0$, де вони досягають максимуму (див. формулу (6.2)). В околоді цієї точки в діаметральній площині виникає плоский напруженний стан чистого зсуву.

Перевірка міцності по дотичних напруженнях виконується

$$\tau_{max} = \tau_{ad}(a, 0) = -\frac{\frac{Q_r S(0)}{1 \cdot h^3}}{12} = -\frac{3 \cdot \frac{Q_r}{h^3}}{2 \cdot 1 \cdot h} = \frac{3 \cdot 103,15 \cdot 10^3}{2 \cdot 1 \cdot 0,03} = \\ = 5,15 \text{ МПа} < \tau_{adm} = \frac{\sigma_{adm}}{2} = 35 \text{ МПа}.$$

Перевірка жорсткості пластиині виконується в циліндричному перетині $r=a$, де найбільший прогин пластиини $w_{max}=0,25 \cdot 10^{-2} \text{ м}$. Абсолютний допустимий прогин дорівнює $wadm=(b-a)/200=0,82/200=0,41 \cdot 10^{-2} \text{ м}$. Умова жорсткості пластиині виконується $w_{max}=0,25 \cdot 10^{-2} \text{ м} < wadm=0,41 \cdot 10^{-2} \text{ м}$.

43

10. Пластина, внутрішня кромка якої шарнірно оперта, зовнішня жорстко закріплена і навантажена по всій площині рівномірно розподіленим поперечним навантаженням

Задано кільцеву пластиину, на внутрішній кромці якої є в'язі, що обмежують тільки вертикальне лінійне переміщення. На зовнішній кромці є в'язі, що обмежують кут повороту і вертикальне лінійне переміщення (рис.8). Товщина пластиини $h=0,024 \text{ м}$. Внутрішній радіус $a=0,3 \text{ м}$, зовнішній радіус $b=1,5 \text{ м}$. Матеріал пластиини текстоліт. Модуль пружності $E=30 \text{ ГПа}$, коефіцієнт поперечної деформації $\mu=0,25$. Нормальне допустиме напруження, на розтяг $\sigma_{adm,r}=15 \text{ МПа}$, а на стиск $\sigma_{adm,c}=30 \text{ МПа}$. Відносний допустимий прогин неповинний перевищувати $1/200$. Пластина навантажена по всій площині рівномірно розподіленим поперечним навантаженням. Потрібно визначити величину поперечного допустимого навантаження, щоб одночасно виконувалися умови міцності і жорсткості пластиини. Побудувати епюри переміщень і зусиль. Перевірити міцність і жорсткість пластиини.

Розв'язання задачі

Величина рівномірно розподіленого поперечного навантаження невідома. Розглянемо її як невідомий параметр і позначимо його q_{adm} . Щоб визначити q_{adm} , необхідно знати найбільший прогин пластиини і величину найбільшого нормальногопроявлення σ_{max} як функцію цього параметра. Далі, використовуючи умову міцності і жорсткості, можна одержати систему двох нестрогих нерівностей. Загальний корінь системи і визначить величину q_{adm} . Для цього необхідно вирішити крайозу задачу для не-відомої функції прогинів $w(q_{adm}, r)$. Відомо, що прольот пластиини $l=b-a=1,5-0,3=1,2 \text{ м}$ і відношення

$$\frac{h}{b-a} = \frac{0,024}{1,2} = \frac{1}{50}$$

задовільняє обмеженням для тонких пластиин. Для визначення її напруженого деформованого стану можна застосувати формулі і методи лінійної теорії пластиин.

Невідома функція прогинів пластиини $w(q_{adm}, r)$ визначається формулою (4.2). Чотири постійні інтегрування X_1, X_2, X_3, X_4 визначаються граничними умовами задачі. На внутрішній кромці пластиини є в'язі, що обмежують її вертикальне лінійне переміщення, тому

$$\text{при } r=a: w(q_{adm}, a)=0, M_r(q_{adm}, a)=0.$$

На зовнішній кромці пластиини є в'язі, що обмежують кут повороту і лінійне переміщення, тому

$$\text{при } r=b: w(b, q_{adm})=0, \phi(q_{adm}, b)=0.$$

За допомогою формул (4.2), (4.6), (4.2) і (4.4) одержимо систему чотирьох лінійних алгебраїчних рівнянь:

$$\begin{aligned} w(q_{adm}, a) &= 0, & a^2 \ln(a) X_1 + a^2 X_2 + \ln(a) X_3 + X_4 + \bar{w}(q_{adm}, a) &= 0; \\ M_r(q_{adm}, a) &= 0, & -D[2(l+\mu \ln(a)+3+\mu)] X_1 - 2D(l+\mu) X_2 - D \frac{l-1}{a^2} X_3 + \\ &+ \bar{M}_r(q_{adm}, a) &= 0; \\ w(q_{adm}, b) &= 0, & b^2 \ln(b) X_1 + b^2 X_2 + \ln(b) X_3 + X_4 + \bar{w}(q_{adm}, b) &= 0; \\ \phi(q_{adm}, b) &= 0, & [2b \ln(b)+b] X_1 + 2b X_2 + \frac{1}{b} X_3 + \bar{\phi}(q_{adm}, b) &= 0. \end{aligned}$$

Необхідно обчислити вільні члени рівнянь, які залежать від виду функції навантаження. По поверхні пластиині діє рівномірно розподілене поперечне навантаження, тому функція навантаження постійна $q_r(r)=q_{adm}$.

Вільний член першого рівняння. Окрім рішення (4.3)

$$\bar{w}(r) = \frac{1}{D} \int \left(\frac{1}{r} \int r \left(\frac{1}{r} \int r q_r(r) dr \right) dr \right) dr = \frac{q_{adm}}{D} \int \left(\frac{1}{r} \int r \left(\frac{1}{r} \int r dr \right) dr \right) dr =$$

44

45

може бути знайдене за схемою послідовного інтегрування. Обчислимо веутрішній інтеграл $\int r dr = \frac{r^2}{2}$ і, розділивши результат на r , інтегруємо ще раз $\int \frac{r}{2} dr = \frac{r^2}{4}$. Множачи результат на r і інтегруючи ще раз, одержимо $\int \frac{r^3}{4} dr = \frac{r^4}{16}$. Розділивши результат на r , інтегруємо ще раз $\int \frac{r^3}{16} dr = \frac{r^4}{64}$. Остаточно вигляд окремого рішення функції прогинів має такий вигляд

$$w(r) = \frac{q_{adm}}{D} \frac{r^4}{64}. \quad (10.1)$$

При $r=a$ одержимо вираз вільного члена першого рівняння

$$\overline{w(a)} = \frac{q_{adm}}{D} \frac{a^4}{64}.$$

Перша похідна від функції прогинів (10.1) є функцією кута повороту

$$\overline{\varphi(r)} = \frac{d\overline{w(r)}}{dr} = \frac{q_{adm}}{D} \frac{r^3}{16}. \quad (10.2)$$

При $r=a$ одержимо вираз вільного члена четвертого рівняння

$$\overline{\varphi(a)} = \frac{q_{adm}}{D} \frac{a^3}{16}.$$

Друга похідна від функції прогинів (10.1)

$$\frac{d^2 \overline{w(r)}}{dr^2} = \frac{q_{adm}}{D} \frac{3r^2}{16}. \quad (10.3)$$

Підставляючи результати в (4.7), одержимо формулу для функції радіального згинального моменту

$$\overline{M_r(r)} = -D \left(\frac{d^2 \overline{w}}{dr^2} + \frac{\mu d\overline{w}}{r dr} \right) = -\frac{q_{adm}}{16} (3 + \mu) r^2. \quad (10.4)$$

При $r=b$ одержимо вираз для вільного члена другого рівняння

$$\overline{M_r(a)} = -\frac{q_{adm}}{16} (3 + \mu) b^2.$$

Вільний член третього рівняння одержимо при підстановці $r=b$ у (10.1)

$$\overline{w(b)} = \frac{q_{adm}}{D} \frac{b^4}{64}.$$

Обчисливши значення коефіцієнтів і вільних членів і підставивши їхнє значення в систему лінійних алгебраїчних рівнянь, запишемо її у вигляді табл. 10.1

Таблиця 10.1

Номер рівняння	X_1	X_2	X_3	X_4	$= 1$
1	-0,10836	0,09	-1,204	1	$-0,3433 \cdot 10^{-8} q_{adm}$
2	$-0,88514 \cdot 10^4$	$-0,9216 \cdot 10^5$	$0,3072 \cdot 10^6$	0	$0,1828 \cdot 10^{-1} q_{adm}$
3	0,9123	2,25	0,4055	1	$-0,2146 \cdot 10^{-5} q_{adm}$
4	2,7164	3	0,6667	0	$-0,5722 \cdot 10^{-5} q_{adm}$

Система рівнянь параметрична. Її корені залежать від значення параметра q_{adm} . Рішення системи виконано шляхом послідовного виключення невідомих (метод Гаусса). Значення коренів

$$X_1 = -0,2114 \cdot 10^{-5} q_{adm}, X_2 = 0,6636 \cdot 10^{-8} q_{adm}, X_3 = 0,5901 \cdot 10^{-5} q_{adm},$$

$$X_4 = -0,2324 \cdot 10^{-6} q_{adm}.$$

Перевірка коренів системи рівнянь дає такі результати. Абсолютний відхилення другого рівняння системи дорівнює нулю. Відхилення першого і четвертого рівняння системи рівний відповідно

$$0,1288 \cdot 10^{-13} q_{adm}, -0,4547 \cdot 10^{-12} q_{adm}, -0,4541 \cdot 10^{-12} q_{adm}.$$

Найбільший відхилення відхилення менше $2 \cdot 10^{-5}\%$. Це означає, що система лінійних алгебраїчних рівнянь вирішена вірно.

Підставляючи знайдені значення коренів у формулу (4.2), одержимо функцію прогинів

$$w(q_{adm}, r) = -0,2114 \cdot 10^{-5} q_{adm} r^2 \ln(r) + 0,6636 \cdot 10^{-8} q_{adm} r^2 - 0,59015 \cdot 10^{-9} q_{adm} \ln(r) - 0,2324 \cdot 10^{-6} q_{adm} + 4,23855 \cdot 10^{-7} q_{adm} r^4.$$

Підставляючи знайдені значення коренів X_1, X_2, X_3, X_4 у (4.6), одержимо формулу для функції радіального згинального моменту в пластині

$$M_r(q_{adm}, r) = 7,793 \cdot 10^{-2} q_{adm} [2,5 \ln(r) + 3,25] - 6,1157 \cdot 10^{-4} q_{adm} + \frac{1,6312 \cdot 10^{-5}}{r^2} q_{adm} - 0,20312 q_{adm} r^2.$$

Підставляючи вирази першої (10.2) і другої (10.3) похідної у (4.9), одержимо окрім рішення функції колового моменту

$$\overline{M_\theta(r)} = -D \left(\mu \frac{d^2 \overline{w}}{dr^2} + \frac{1}{r} \frac{d\overline{w}}{dr} \right) = -\frac{q_{adm}}{16} (3\mu + 1) r^2. \quad (10.5)$$

Підставляючи знайдені значення коренів X_1, X_2, X_3, X_4 у (4.8), одержимо формулу колового моменту в пластині

$$M_\theta(q_{adm}, r) = 7,793 \cdot 10^{-2} q_{adm} [2,5 \ln(r) + 1,75] - 6,1157 \cdot 10^{-4} q_{adm} - \frac{1,6312 \cdot 10^{-5}}{r^2} q_{adm} - 0,1094 q_{adm} r^2.$$

Для визначення найбільших значень функції $w(q_{adm}, r)$, $M_r(q_{adm}, r)$, $M_\theta(q_{adm}, r)$ розділимо прольот на шість рівних частин і обчислимо значення функцій у точках розподілу. Результати представимо у вигляді табл. 10.2

Таблиця 10.2

Номер точки	r	$w(q_{adm}, r)$	$M_r(q_{adm}, r)$	$M_\theta(q_{adm}, r)$
1	0,3	0	0	$-10,882 \cdot 10^{-2} q_{adm}$

Продовження табл. 10.2

Номер точки	r	$w(q_{adm}, r)$	$M_r(q_{adm}, r)$	$M_\theta(q_{adm}, r)$
2	0,5	$1,617 \cdot 10^{-7} q_{adm}$	$6,69 \cdot 10^{-2} q_{adm}$	$-2,668 \cdot 10^{-5} q_{adm}$
3	0,7	$2,419 \cdot 10^{-7} q_{adm}$	$8,367 \cdot 10^{-2} q_{adm}$	$1,265 \cdot 10^{-2} q_{adm}$
4	0,9	$2,314 \cdot 10^{-7} q_{adm}$	$6,762 \cdot 10^{-2} q_{adm}$	$2,662 \cdot 10^{-2} q_{adm}$
5	1,1	$1,525 \cdot 10^{-7} q_{adm}$	$2,545 \cdot 10^{-2} q_{adm}$	$2,1970 \cdot 10^{-2} q_{adm}$
6	1,3	$0,522 \cdot 10^{-7} q_{adm}$	$-3,95 \cdot 10^{-2} q_{adm}$	$0,2025 \cdot 10^{-2} q_{adm}$
7	1,5	0	$-12,537 \cdot 10^{-2} q_{adm}$	$-3,134 \cdot 10^{-2} q_{adm}$

Найбільше значення функції прогину досягає при $r=0,7$ м, де $w_{max} = 0,2419 \cdot 10^{-7} q_{adm}$. За умовою жорсткості ця величина повинна бути обмежена величиною допустимого прогину $w_{adm} = (b-a)/200 = 6 \cdot 10^{-3}$ м. Підставивши отримані вирази в умову жорсткості $w_{max} \leq w_{adm}$ одержимо першу нерівність для визначення шуканої величини навантаження, що допускається,

$$0,2419 \cdot 10^{-7} q_{adm} \leq 6 \cdot 10^{-3}. \quad (10.6)$$

Замінивши нестору нерівності на рівність, одержимо рівняння для визначення шуканої величини допустимого навантаження $0,2417 \cdot 10^{-7} q_{adm} = 6 \cdot 10^{-3}$. Його рішення визначить величину рівномірно розподіленого навантаження $q_{adm} = 24,824$ кПа, при якій найбільший відносний прогин у пластині дорівнює $1/200$.

Серед множини значень функції радіальних і колового згинальних моментів (див.табл.10.2) є найбільше за модулем значення при $r=b M_r(q_{adm}, b) = 12,537 \cdot 10^{-2} q_{adm}$. Матеріал текстоліт не однаково опирається розтягу і стиску . Величина допустимого напруження на розтяг менша, ніж на стиску $\sigma_{adm} < \sigma_{adm,c}$. Тому умову міцності слід перевірити в точці з координатами $r=b$, $z=-h/2$ за розтягними напруженнями. У цій точці виникає найбільша радіальна нормальні розтяжка напруга (див. формулу (6.1))

$$\sigma_z(a, -\frac{h}{2}) = \frac{6 \cdot M_z}{h^2} = \frac{6 \cdot 12,537 \cdot 10^3 q_{adm}}{0,024^2} = 1,306 \cdot 10^3 q_{adm}.$$

За умовою міцності за першою теорією міцності ця величина не повинна перевищувати величини допустимої напруги на розтяг для текстоліту

$$\sigma_z(a, -\frac{h}{2}) = 1,306 q_{adm} \leq \sigma_{adm,z} = 15 \text{ МПа}. \quad (10.7)$$

Замінивши нестрогу нерівність на рівність, одержимо рівняння для визначення шуканої величини допустимого навантаження $1,306 \cdot q_{adm} = 15 \cdot 10^6$. Рішення рівняння буде $q_{adm} = 11,485 \text{ кПа}$ визначить величину рівномірно розподіленого навантаження, при якій найбільша нормальна напруга в пластині дорівнює 15 МПа.

Найменшим загальним коренем системи двох квадратичних рівностей (10.6) і (10.7) буде менше з двох значень $q_{adm} = \min(11,485; 24,793) = 11,485 \text{ кПа}$. Приймамо $q_{adm} = 11,5 \text{ кПа}$. Це дозволяє визначити функції переміщення і зусиль, що визначають напружено деформований стан пластиини.

Функція прогину.

$$w(r) = -2,431 \cdot 10^{-2} r^2 \ln(r) + 7,631 \cdot 10^{-4} r^2 + 6,786 \cdot 10^{-6} \ln(r) - 2,6734 \cdot 10^{-3} + 4,8744 \cdot 10^{-3} r^4.$$

Функція кута повороту

$$\varphi(r) = -2,431 \cdot 10^{-3} [2r \ln(r) + r] + 1,5262 \cdot 10^{-4} r + 6,786 \cdot 10^{-6} r + 1,9497 \cdot 10^{-2} r^3.$$

Функція радіального згинального моменту

$$M_r(r) = 8,9616 \cdot 10^{-2} [2,5 \ln(r) + 3,25] - 7,0329 + 1,8763 \cdot 10^{-1} / r^2 - 2,3359 \cdot 10^{-3} r^2.$$

Функція колового згинального моменту

$$M_\theta(r) = 8,9616 \cdot 10^{-2} [2,5 \ln(r) + 1,75] - 7,0329 - 1,8763 \cdot 10^{-1} / r^2 - 1,2578 \cdot 10^{-3} r^2.$$

Підставляючи вираз першої похідної (10.2) у (4.11) і послідовно диференціюючи, одержимо

$$\bar{Q}_r = -D \frac{d'}{dr} \left(\frac{1}{r} \frac{d}{dr} \left(r \frac{dw}{dr} \right) \right) = -\frac{qr}{2} = -\frac{11,5 \cdot 10^3 r}{2} = -5,75 \cdot 10^3 r.$$

Функція радіальної поперечної сили

$$Q_r(r) = 3,5847 \cdot 10^3 / r - 5,75 \cdot 10^3 r.$$

Для побудови епюри переміщення і зусиль (рис. 8) розділимо проліт на шість різних частин і обчислимо значення функцій $w(r)$, $\varphi(r)$, $M_r(r)$, $M_\theta(r)$, $Q_r(r)$ у точках розподілу. Результати обчислення значень функцій подані у табл. 10.3.

Таблиця 10.3

Номер точки розподілу	$r, \text{м}$	$w(r), \text{м}$	$dw/dr, \text{радіані}$	$M_r(r), \text{kH}$	$M_\theta(r), \text{kH}$	$Q_r(r), \text{kH/m}$
1	0,3	0	0,109 $\cdot 10^{-1}$	0	-1,251	10,22
2	0,5	0,186 $\cdot 10^{-2}$	0,722 $\cdot 10^{-2}$	0,769	-0,307	4,294
3	0,7	0,278 $\cdot 10^{-2}$	0,193 $\cdot 10^{-2}$	0,926	0,145	1,096
4	0,9	0,266 $\cdot 10^{-2}$	-0,291 $\cdot 10^{-2}$	0,778	0,306	-1,192
5	1,1	0,175 $\cdot 10^{-2}$	-0,571 $\cdot 10^{-2}$	0,293	0,253	3,066
6	1,3	0,601 $\cdot 10^{-3}$	-0,515 $\cdot 10^{-2}$	-0,454	0,023	-4,717
7	1,5	0	0	-1,442	-0,360	-6,235

Побудовані епюри прогинів і кутів повороту дозволяють уточнити циліндричний перетин, де функція $w(r)$ досягає найбільшого значення (рис. 8). В інтервалі $0,7 < r < 0,9$ перша похідна функції прогинів dw/dr змінює знак. Замінюючи на цьому інтервалі функцію $w(r)/r$ лінійною апроксимацією, знайдемо нуль функції $dw/dr=0$. У точці з абсесою $r = 0,78 \text{ м}$ буде найбільший абсолютної прогин пластиини $w_{max} = 2,85 \cdot 10^{-3} \text{ м}$. Відношення найбільшого

шого абсолютноного прогину до товщини пластиини, що характеризує жорсткість гнуучких тонких пластиин, виконується

$$\frac{w_{max}}{h} = \frac{2,85 \cdot 10^{-3}}{0,024} = \frac{1}{8,42} < \frac{1}{5}.$$

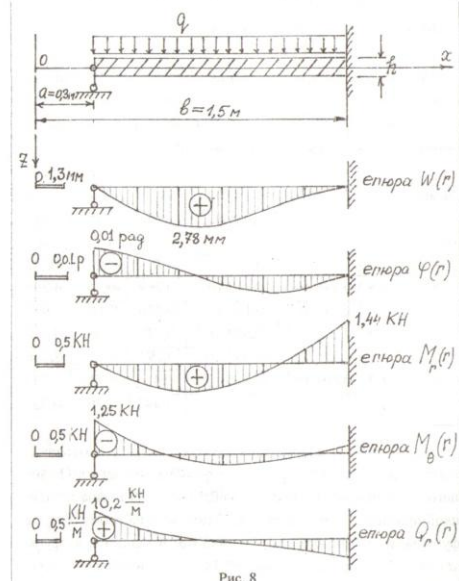


Рис. 8

Побудовані епюри зусиль дозволяють визначити небезпечний циліндричний перетин $r=b$, де функція радіального згинального моменту досягає найбільшого значення. На верхній площині пластиини в точці з координатами $r=b, z=-h/2$ виникають напруження

$$\sigma_z(b, -h/2) = \frac{6M_z}{h^2} = \frac{6 \cdot 1,44 \cdot 10^3}{0,024^2} = 15,0 \text{ МПа},$$

$$\sigma_\theta(b, -h/2) = \frac{6M_\theta}{h^2} = \frac{6 \cdot 0,36 \cdot 10^3}{0,024^2} = 3,75 \text{ МПа}.$$

У цій точці дотичні напруження в площині пластиини відсутні. Тому радіальні й колові нормальні напруження одночасно є головними

$$\sigma_z = \sigma_z(b, -h/2) = 15,0 \text{ МПа}, \quad \sigma_\theta = \sigma_\theta(b, -h/2) = 3,75 \text{ МПа},$$

$$\sigma_3 = -11,5 \text{ кПа}.$$

Текстоліт – матеріал, що неоднаково опираєтьсяся розтягу і стиску. Нормальне допустиме напруження на розтяг $\sigma_{adm,z} = 15 \text{ МПа}$ менше, ніж на стиск $\sigma_{adm,c} = 30 \text{ МПа}$. Тому перевірку міцності з нормальних напруженів варто робити за першою теорією міцності в точці з координатами $r=b, z=-h/2$, де діють розтяжні напруження $\sigma_z = 15,0 \text{ МПа} = \sigma_{adm,z} = 15,0 \text{ МПа}$.

Умова міцності виконується точно. У перетині $r=a$ функція поперечної сили досягає найбільшого значення $Q_r(a) = 10,224 \text{ кН/m}$. Найбільші дотичні напруження будуть на рівні серединної площини при $z=0$, де вони досягають максимуму (див. формулу (6.2)). В околі цієї точки виникає плоский напруженний стан чистого зсуву

$$\tau_{max} = \tau_{r,r}(a, 0) = -\frac{Q_r S(0)}{h^3} = -\frac{3 Q_r}{2 h} = \frac{3}{2} \cdot \frac{10,224 \cdot 10^3}{0,024} = 6,375 \text{ МПа}.$$

Дотична допустима напруга дорівнює половині нормальної допустимої напруги. Умова міцності по дотичних напруженнях виконується

$$\tau_{\max} = 6,375 \text{ МПа} < \tau_{adm} = \frac{\sigma_{adm,t}}{2} = 7,5 \text{ МПа}.$$

Перевірка жорсткості пластини. У точці $r = 0,78$ м найбільший абсолютно прогин пластини $w_{\max} = 2,85 \cdot 10^{-3}$ м. Допустимий прогин $w_{adm} = (b-a)/200 = 1,2/200 = 6 \cdot 10^{-3}$ м. Умова жорсткості пластини $w_{\max} = 2,85 \cdot 10^{-3}$ м. $< w_{adm} = 6 \cdot 10^{-3}$ м виконується.

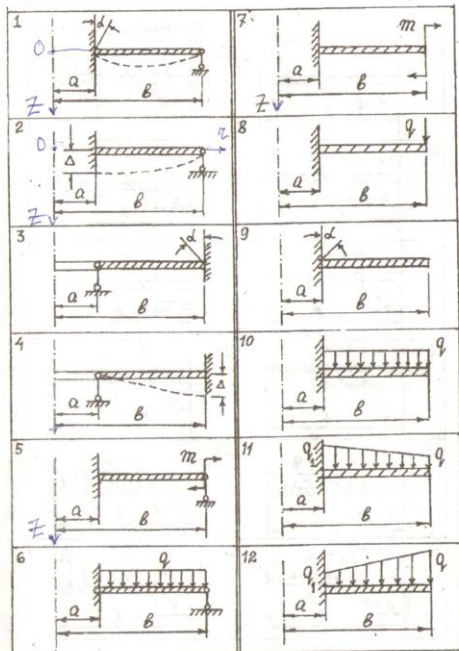
11. Визначення даних індивідуальних задач розрахунково-графічної вправи «Розрахунок кільцевої пластини на міцність і жорсткість»

Дані індивідуальної задачі визначаються шестизначним числом, що задається викладачем. Перші дві цифри задають номер розрахункової схеми з табл. 11.1. Третя цифра задає номер рядка табл. 11.2, що задає механічні характеристики матеріалу. Четверта цифра визначає рядок геометричних параметрів з табл. 11.3. П'ята цифра задає номер задачі (1—перевірка міцності; 2—визначення величин допустимого навантаження; 3—обчислення величини коефіцієнта запасу). Шоста цифра задає номер рядка табл. 11.4, де зібрали параметри навантаження. Вона потрібна тільки в задачі 1.

12 | 3 4 5 6
X2

12

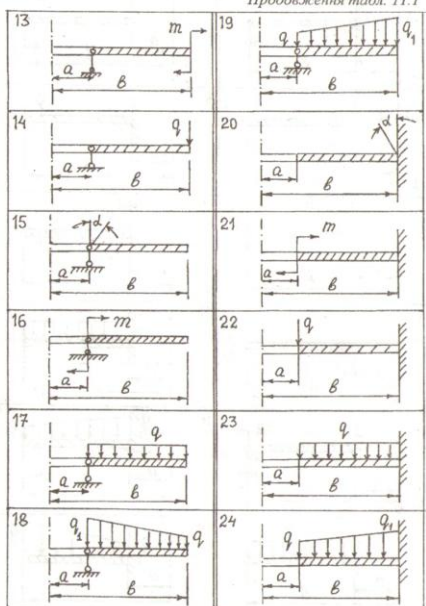
Таблиця 11.1



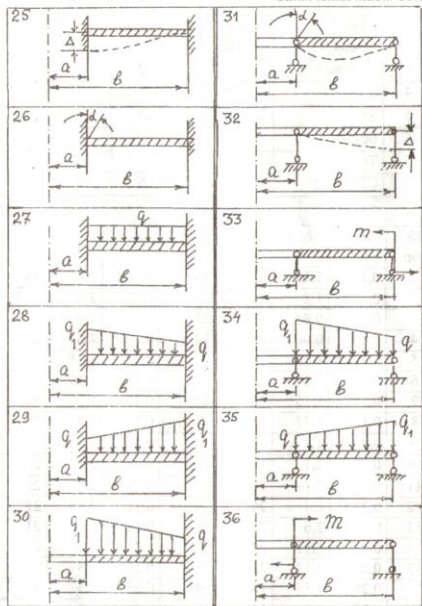
54

55

Продовження табл. 11.1



Закінчення табл. 11.1



56

57

3

Таблиця 11.2

№ пор.	Матеріал	E, ГПа	μ	$\sigma_{\text{доп.2}}$, МПа	$\sigma_{\text{доп.3}}$, МПа
1	СтальСТ2	200	0,3	180	
2	СтальСТ3	210	0,3	200	
3	Бронза	110	0,32	60	
4	ДТ-5	70	0,3	70	
5	Чавун	120	0,23	70	120
6	Бетон	32,5	0,167	1,2	30
7	Текстоліт	30	0,25	15	30
8	СВАМ 1:1	40	0,25	50	42

Таблиця 11.3

4

№	a м	b м	h мм
1	0,5	1,5	20
2	0,4	1,2	22
3	0,6	1,4	18
4	0,3	1,2	16
5	0,4	1,6	22
6	0,5	1,8	18
7	0,3	1,5	16
8	0,6	1,8	20
9	0,4	1,5	16
0	0,5	1,6	18

58

5

Таблиця 1.4

№ пор.	q, кПа	q ₁ , кПа	P, кН	m, кНм	α , рад.	Δ , мм
1	3	1,2	8	18	0,005	4
2	4	1,4	12	22	0,003	5
3	2	1,6	6	24	0,004	3
4	3,5	0,9	7	21	0,006	4,5
5	4,5	0,8	11	17	0,007	5
6	5	0,75	17	18	0,004	3,5
7	3,5	1,4	21	16	0,004	2
8	2,5	1,1	18	15	0,006	4

12. Табулювання функцій, заданих громіздкими формулами, на мікрокалькуляторах типу "Casio" fx-100W, fx-570W

Інженерні мікрокалькулятори (МК) типу "Casio" призначені для автоматизації обчислень нескладних науково-технічних і інженерних розрахунків. МК "Casio" складається з кнопкового пристрою вводу, мікропроцесора і запам'ятовуючого пристрою для виконання обчислень і дисплея для наведення числових результатів. Кнопки вздовж поділяються на дві групи. Одна група кнопок призначена для введення чисел і знаків арифметичних операцій. Інша група кнопок слугує для керування обчислювальним процесом і вводу функцій. Запам'ятовуючий пристрій складається з набору реєстрів для збереження даних і лінійної пам'яті для збереження програми. Дисплей складається з двох рядків. Верхній відображає символи, що вводяться, нижній рядок є рядок результату. Є бібліотека вбудованих математичних і статистичних функцій. Наявність лінійної пам'яті довжиною 79 знаків і радика

59

дисплея, де вона відображається, дозволяє просто організувати обчислення користувальницьких функцій, що конструкуються з бібліотечних функцій за допомогою арифметичних операцій. Обчислення декількох значень функцій виконується при одноразовому введенні формул в наступною замінною значенням аргументу. При цьому при введенні формулі під аргумент резервуються стільки позицій пам'яті, щоб її вистачило для "найдовшого" числа. При введені поточного значення зайві позиції заповнюються нулями. Примір. Обчислити значення функції кута повороту, узятої з першого приклада, при наступних значеннях аргументу $r = 0,6; 0,75$.

$$\varphi(r) = -0,41933 \cdot 10^3 [2 \ln(r) + r] + 1,0806 \cdot 10^2 r - 0,50625 \cdot 10^3 r.$$

Введемо наступні позначення для клавіш МК "Casio".

* Прямими дужками позначаються функціональні клавіші, що згруповані і знаходяться у верхній частині клавіатури. Символи в прямих дужках є називами цих клавіш. Назви розташовані на самій клавіші. Наприклад,

$[x^2]$ – оператор піднесення до квадрату;

$[ln]$ – оператор натурального логарифму.

* Кутовими дужками позначені клавіша дорівнює, клавіша арифметичних операцій, клавіша десяткова крапка і клавіша підстановки ступеня числа десять $\langle = \rangle, \langle + \rangle, \langle - \rangle, \langle \times \rangle, \langle \div \rangle, \langle * \rangle, \langle EXP \rangle$. Ці клавіші згруповані в нижній частині клавіатури

* Фігурними дужками позначені клавіші керуванням курсором $\langle \leftarrow \rangle, \langle \rightarrow \rangle$ і вибір режимів $\{ MODE \}$.

* При вводі значення аргументу 0,6 натискаються клавіші (\bullet) 60

1. Включення МК "Casio". Початок роботи задається натисканням клавіші $\{ AC / ON \}$. Виконується перевірка встановлених режимів роботи МК "Casio".

Режими	Звичайних обчислень	Вимірювальний	Представлення	Кількість значущих цифр
Індикатор	COMP	RAD	NORM2	SCI2,ENG2

60

2. Уведення формулі для обчислення значення функції при $r = 0,6$.

$$-0(\bullet) 41933 \langle EXP \rangle (-2 \langle \times \rangle (2 \langle \times \rangle 0(\bullet) 60 \langle \times \rangle [\ln] 0(\bullet) 60 + 0(\bullet) 60) + 1(\bullet) 0806 \langle EXP \rangle -2 \langle \times \rangle 0(\bullet) 60 - 0(\bullet) 50625 \langle EXP \rangle - 3 \langle + \rangle 0(\bullet) 60.$$

Символи, що вводяться, з'являються на верхньому рядку дисплея. Здійснюється поточний контроль і при виявленні помилки за допомогою клавіші курсор уліво $\{ \leftarrow \}$ знаходитьться потрібна позиція і помилка виправляється.

3. По закінченні уведення формулі натискається клавіша дорівнює $\langle = \rangle$. На нижньому рядку дисплея з'являється результат $5,69432 \cdot 10^{-3}$. Кінець обчислення першого значення функції.

4. Щоб обчислити друге значення функції треба замінити старе значення аргументу на нове $r = 0,75$. За допомогою клавіші курсор уліво $\langle \leftarrow \rangle$ знаходитьться потрібна позиція аргументу і виконується його заміна. По закінченню всіх змін натискається клавіша дорівнює $\langle = \rangle$. На нижньому рядку дисплея з'являється результат $6,094126 \cdot 10^{-3}$.

61

СПИСОК ЛІТЕРАТУРИ

1. Александров А.В. Сопротивление материалов. Основы теории упругости и пластичности. – 2-е изд.- М.: Выш. шк., 2002. – 398 с.
2. Варданян Г.С., Андреев В.И., Атаров Н.М., Горюков А.А. Сопротивление материалов с основами теории упругости и пластичности.– М.:Изд. ассоциации строительных вузов, 1995. – 572 с.
3. Теребушко О.И. Основы теории упругости и пластичности. – М.: Главн. ред. физ.–мат. лит.–ры, 1984. – 317 с.
4. Прочность • Устойчивость • Колебания: Справочник в 3-х т./ Под общ. ред. И.А. Биргера и Я.Г. Пановко. – М.: Машиностроение, 1968. – Т. 1. – 831с.
5. Справочник по теории упругости (для инженеров-строительей) / Под общ. ред. П.М. Варвака, А.Ф. Рябова. – К.: Бу-дівельник, 1971. – 418 с.

довжиною 79 знаків і рядка дисплея, де вона відображається, дозволяє просто організовувати обчислення користувальницьких функцій, що конструкуються з бібліотечних функцій за допомогою арифметичних операцій. Обчислення декількох значень функції виконується при одноразовому введені формулі з наступною заміною значення аргументу. При цьому при введенні формулі під аргумент резервується стільки позицій пам'яті, щоб її вистачило для "найдовшого" числа. При введенні поточного значення зайді позиції заповнюються нулями. Приклад. Обчислити значення функції кута повороту, узятої з першого приклада, при наступних значеннях аргументу $r = 0.6; 0.75$.

$$\phi(r) = -0.41933 \cdot 10^2 [2rln(r)+r] + 1.0806 \cdot 10^2 r - 0.50625 \cdot 10^3 r.$$

Введемо наступні позначення для клавіш МК "Casio".

* Прямими дужками позначаються функціональні клавіші, що згруповани і знаходяться у верхній частині клавіатури. Символи в прямих дужках є назвами цих клавіш. Назви розташовані на самій клавіші. Наприклад, $[x^2]$ – оператор піднесення до квадрату;

$[In]$ – оператор натуральний логарифм.

* Кутовими дужками позначена клавіша дорівнює, клавіша арифметичних операцій, клавіша десяткова крапка і клавіша підстановки ступеня числа десять $\langle = \rangle$, $\langle + \rangle$, $\langle - \rangle$, $\langle \times \rangle$, $\langle \div \rangle$, $\langle \bullet \rangle$, $\langle EXP \rangle$. Ці клавіші згруповані в нижній частині клавіатури

* Фігурними дужками позначені клавіші керуванням курсору $\{ \leftarrow \}$, $\{ \rightarrow \}$ і вибір режимів $\{ MODE \}$.

* При вводі значення аргументу 0.6 натискується клавіші $\langle \bullet \rangle$ 60

I. Включення МК "Casio". Початок роботи задається натисканням клавіші $\{ AC/ON \}$. Виконується перевірка встановлених режимів роботи МК "Casio".

Режими	Звичайних обчислень	Вимірю кутів	Представлення чисел	Кількості значущих цифр
--------	---------------------	--------------	---------------------	-------------------------

М.к. ном.
неб. кое.
реп. інду. Навчально-методичне видання
реп. інду. дес. і. 127.
Стахівич - Іванів
192
коек.

КІЛЬЦЕВА ПЛАСТИНА

Методичні рекомендації
до виконання розрахунково-графічної
роботи для студентів спеціальності
7.092101 "Промислове і цивільне будівництво"

Укладач ПЕКЛОВ Микола Олександрович

Комп'ютерна верстка О.В. Яворської

Підписано до друку 22.12.2003. Формат 60x84 1/16.
Папір офсетний. Гарнітура Таймс. Друк на різографі.
Ум.друк. арк. 3,72. Облік-вид. арк. 4,0. Ум.фарбопідл. 23.
Тираж 200 прим. Вид. № 110/III-03. Зам. № 8/1-04.

КНУБА. Позитофлотський проспект, 31, Київ- 680, 03680

Віддруковано в редакційно-видавничому відділі
Київського національного університету будівництва і архітектури.

Свідоцтво про внесення до державного реєстру суб'єктів видавничої
справи ДК № 808 від 13.02.2002 р.